

N° d'ordre: 05/2012-M/MT

REPUBLIQUE ALGÉRIENNE DEMOCRATIQUE ET POPULAIRE
MINISTÈRE DE L'ENSEIGNEMENT SUPÉRIEUR ET
DE LA RECHERCHE SCIENTIFIQUE

UNIVERSITÉ DES SCIENCES ET DE LA TECHNOLOGIE
HOUARI BOUMÉDIENE
Faculté de Mathématiques



Mémoire

Présenté pour l'obtention du diplôme de MAGISTER
EN : MATHÉMATIQUES
Spécialité : Algèbre et Théorie des Nombres

Par : Ourida BELKADI

Sujet :

Cryptographie basée sur les Couplages des Courbes Elliptiques

Soutenu publiquement le : 30 septembre 2012 , devant le Jury proposé de :

M Meziane AIDER	Professeur à l'U.S.T.H.B	Président
M M S HACHAICHI	Maitre de Conférences à l'U.S.T.H.B	directeur de la Mémoire
M Mohamed ZITOUNI	Professeur à l'U.S.T.H.B	Examineur
M Mohand Ouamer HERNANE	Professeur à l'U.S.T.H.B	Examineur

Remerciements

Je remercie profondément M Hachaichi, Maitre de conférence au Département de Mathématique à l'USTHB, pour son soutien, ses encouragements, ses conseils, sa patience et son aide précieuse durant ces années de thèse.

Mes sincères remerciements a M. Meziane AIDER , Professeur au département de Mathématique à l'USTHB pour avoir accepté de présider le jury de soutenance

j'exprime ma gratitude à M .Mohamed ZITOUNI , professeur à l'USTHB a M .Mohand O. hernane professeur à l'USTHB pour avoir accepté de participer dans le jury de soutenance.

Merci a tous ceux qui m'ont apporté de l'aide, chacun a sa manière tout au long de ma thèse.

Mes remerciements sont également adressés à mes parents et aux membres de ma famille a ma tante d'Alger qui ont toujours été la pour m'encourager et soutenir. Un grand merci a mon fiancé pour ses encouragements et sa compréhension.

Sommaire

INTRODUCTION	1
CHAPITRE1 : ARITHMETIQUE ET COURBE ELLIPTIQUE	3
1. Arithmétique des Courbes Elliptiques	3
1.1 Généralité	3
1.2 Isogénie de Courbe Elliptique	11
1.2.1 Multiplication par des entiers rationnels	15
1.2.2 technique de <i>VELU</i>	17
1.2.3. <i>Algorithme de calcul des Courbes Elliptiques E/Q</i>	18
1.3. <i>Isogénies, endomorphismes et points de torsion</i>	20
1.3.1. Isogénie, isogénie duale.....	20
1.3.2 <i>Groupes de torsion</i>	22
1.3.3 <i>Structure de l'anneau des endomorphismes</i>	23
CHAPITRE2 : COUPLAGE	
2. <i>Couplage</i>	24
2.1 <i>Couplage de WEIL</i>	24
2.2 <i>Couplage de TATE</i>	29
2.3 <i>Algorithme de MILLER</i>	32
2.3.1 Principe de l'Algorithme	32
2.3.2 Raffinement	34
2.3.3 Implémentation et étude de la complexité	37
2.4 Comparaisons des Couplages de <i>TATE</i> et de <i>WEIL</i>	38
2.5 Groupe cyclique avec couplage.....	38
2.5.1 Couplage parfait.....	38
2.5.2 Famille générique des groupes cyclique avec couplage.....	40
2.5.3 Famille de représentation de groupe cyclique avec couplage.....	41
2.5.4 Problème de <i>DIFFIE-HELLMAN</i>	41
CHAPITRE3 : CONSTRUCTION DES COURBES ELLIPTIQUE BIEN COUPLE'ES	
3. <i>Construction des courbes elliptiques bien couplées</i>	43
3.1 Utilisation du couplage de <i>TATE</i>	43
3.2 <i>Courbe super singulière et application de distorsion</i>	47
3.3 <i>construction de courbe par la méthode CM</i>	53
3.4 <i>Exemple de courbe ordinaire les courbes MNT</i>	54
CHAPITRE4: APPLICATION DES COURBES ELLIPTIQUE EN CRYPTOGRAPHIE	
4 <i>Application des courbes elliptiques en cryptographie</i>	61
4.1 <i>Attaque de MOV/FREY-RÜK</i>	62
4.2 Hypothèse de sécurité liées au couplage;;.....	62
4.3 Distribution non interactive de clé basée sur l'identité	64
4.4 Un protocole <i>DIFFIE-HELLMAN</i> pour trois parties en un tour	67
4.5 Chiffrement de <i>BONECH – FRANKLIN</i> basée sur l'identité.....	68
Conclusion	70
Bibliographie.....	71

Sommaire

Introduction

Les courbes elliptiques sont nées de l'étude au début du 19ème siècle des intégrales elliptiques du type $\int \frac{dx}{\sqrt{P(x)}}$, où P est un polynôme de degré 3 ou 4 à racines simples.

La courbe plane $C = \{(x, y); y^2 = P(x)\}$ est une courbe elliptique et l'intégrale se ramène alors à celle de la forme différentielle régulière $\frac{dx}{y}$ sur C . Cependant, ce n'est qu'au début du 20ème siècle que la théorie des courbes elliptiques est formalisée et développée avec les travaux de Mordel, ce qui leur a ouvert un vaste champ d'applications, notamment en cryptographie à clé publique sous l'instigation de *N. Koblitz* et de *V. Miller* en 1985. Une des propriétés importantes des points K – rationnels d'une courbe elliptique sur un corps commutatif K est l'existence d'une structure de groupe abélien sous jacente. Sur une courbe elliptique, la loi de groupe est relativement facile à calculer, mais le problème du logarithme discret est difficile, faute d'algorithme effectif en complexité polynomiale.

La cryptographie à clé publique est une invention de *Diffie – Hellman* en 1975, mais ce n'est que trois ans plus tard qu'on a un exemple concret avec le chiffrement **RSA** du nom de ses inventeurs *Rivest, Shamir et Adelman*. L'utilisation des courbes elliptiques est l'initiative de *H. W. Lenstra* en 1985 qui les a utilisées pour la factorisation de grands nombres entiers.

Une des directions prise à l'heure actuelle est la cryptographie utilisant les couplages. Un couplage est une application bilinéaire qui prend deux points sur une courbe elliptique et donne un élément du groupe multiplicatif d'un corps fini, comme les couplages de *Weil* et *Tate*. Le calcul des couplages a été considéré inefficace jusqu'à l'invention de l'algorithme de *Miller* en 1986. Cependant, à l'époque les couplages n'avaient pas encore trouvé d'applications concrètes.

Les premières applications des couplages en cryptologie sont de nature cryptanalytiques. En 1993 *Menezes* et al. utilise le couplage de *Weil* pour réduire le problème du logarithme discret sur une courbe elliptique à celui dans un corps fini. Un an plus tard, *Frey – Rück* propose une attaque similaire avec le couplage de *Tate*

Les couplages ont trouvé les premières applications constructives en 2000 avec le

Introduction

protocole de *Diffie Hellman* pour trois parties proposé par *Joux* et ensuite *Sakai, Ohgishi & Kasahara*. L'application la plus significative des couplages est le chiffrement

à base d'identité : *Boneh et Franklin* proposent en 2001 un schéma réalisable fondé sur les couplages, résolvant ainsi le problème posé par *Shamir* en 1984.

Les couplages ont trouvé par la suite de nombreuses applications: signature à base d'identité, signature courte, etc A l'heure actuelle, les couplages sont un sujet de recherche très actif en cryptographie à base des courbes elliptiques.

Notre travail est constitué de 4 chapitres ainsi précisés :

Dans le chapitre 1, nous étudions l'arithmétique des courbes elliptiques, et notamment les concepts d'isogénie de courbes elliptiques, d'endomorphismes et de points de torsion.

Dans le chapitre 2, Nous définissons les couplages de *Tate* et de *Weil* et nous rappelons leurs propriétés principales. Nous effectuons ensuite la comparaison des deux couplages ainsi que l'étude du groupe cyclique avec couplage.

Dans le chapitre 3, Nous précisons la construction de courbes elliptiques bien couplées.

Le chapitre 4 est consacré aux applications des couplages en cryptologie, y compris l'attaque *MOV/FREY – Ručk*, le protocole de *Diffie – Hellman* pour trois parties et le chiffrement à base d'identité de *Boneh – Franklin*

Chapitre 1 : Arithmétique des Courbes Elliptiques

1. Arithmétique des Courbes Elliptiques :

Cette partie est une présentation sommaire des éléments de base nécessaires à la compréhension de l'arithmétique des courbes elliptiques. Nous n'en donnerons pas les démonstrations dont on peut trouver le détail dans [Sil86], ou [HVM04].

Dans la suite, on notera par \mathbf{K} un corps commutatif, local, global ou fini, $\overline{\mathbf{K}}$ sa clôture algébrique et $\mathbf{K}^* = \mathbf{K} \setminus \{0\}$

1.1 Généralités

Dans cette partie, (\mathbf{K}) désigne l'ensemble des points (x, y) à coordonnées dans \mathbf{K} , et $IP^2(\mathbf{K})$ désigne l'ensemble des triplets $(X, Y, Z) \neq (0, 0, 0)$ des éléments de \mathbf{K} muni de la relation d'équivalence :

$$\forall \lambda \in \mathbf{K}^* : (X, Y, Z) \sim (\lambda X, \lambda Y, \lambda Z) \quad (1.1)$$

Définition 1 : Une courbe elliptique $E \setminus \mathbf{K}$, est l'ensemble des solutions (X, Y) dans $IP^2(\mathbf{K})$ d'une équation homogène de la forme :

$$F(X, Y, Z) = Y^2Z + a_1XYZ + a_3YZ^2 - X^3 - a_2X^2Z - a_4XZ^2 - a_6Z^3 = 0, a_i \in \overline{\mathbf{K}}, \quad (1.2)$$

telle que $\partial F / \partial X$, $\partial F / \partial Y$ et $\partial F / \partial Z$ ne soient pas tous nuls en tout point \mathbf{P} de cette courbe : on exprime ce fait en disant que la courbe est « lisse » ou non singulière. Il y a un seul point noté $\mathbf{O} \in E$ avec $\mathbf{Z} = 0$ qui est le point de coordonnées $(0, 1, 0)$, appelé le point à l'infini.

On utilise dans la pratique les coordonnées affines $x = \frac{X}{Z}$ et $y = \frac{Y}{Z}$, en sorte que l'équation de la courbe elliptique prend la forme, dite affine :

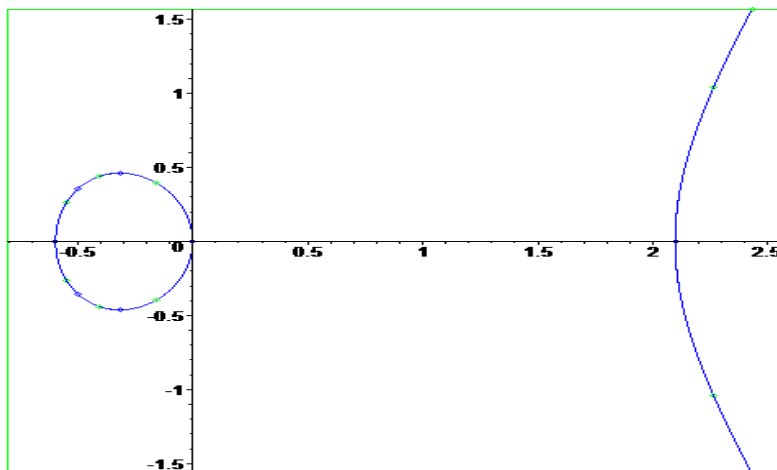
$$f(x, y) = y^2 + a_1xy + a_3y - x^3 - a_2x^2 - a_4x - a_6 = 0 \in \mathbf{K}[x, y] \quad (1.3)$$

et on peut traduire la définition générale en disant qu'une courbe elliptique est l'ensemble des point $(x, y) \in \mathbf{A}^2(\overline{\mathbf{K}}) = \overline{\mathbf{K}} \times \overline{\mathbf{K}}$ satisfaisant l'équation (1.3), muni du point à l'infini \mathbf{O} .

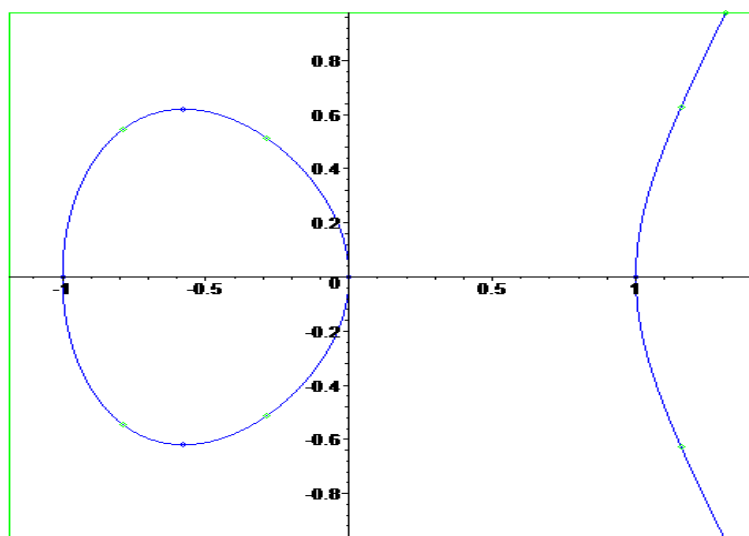
Chapitre 1 : Arithmétique des Courbes Elliptiques

Nous présentons quelques exemples de courbes elliptiques :

1 – sur le corps des nombres réels \mathbb{R} :



$$(a) E_1: y^2 = x^3 - \frac{3}{2}x^2 - \frac{5}{4}x$$



$$(b) E_2: y^2 = x^3 - x$$

fig1.1 Courbes Elliptiques sur \mathbb{R}

Chapitre 1 : Arithmétique des Courbes Elliptiques

2 - Sur le corps fini à 17 éléments \mathbf{IF}_{17}

Soit $\mathbf{E} : y^2 = x^3 + x$ une courbe elliptique sur \mathbf{IF}_{17}

Montrons que $\mathbf{E}(\mathbf{IF}_{17}) = \{(x, y) \in \mathbf{IF}_{17} \times \mathbf{IF}_{17} : f(x, y) = y^2 - x^3 - x = 0\}$

est une courbe elliptique sur \mathbf{IF}_{17} , en calculant $\partial f / \partial x$ et $\partial f / \partial y$ qui doivent être non nulles

en tout point de \mathbf{E}

En effet : $\frac{\partial f}{\partial x}(x, y) = -3x^2 - 1$ qui ne s'annule en aucun point $(x, y) \in \mathbf{IF}_{17} \times \mathbf{IF}_{17}$;

de même : $\frac{\partial f}{\partial y}(x, y) = 2y$ qui est nulle seulement pour $y = 0$

Ainsi $(\frac{\partial f}{\partial x}(x, y), \frac{\partial f}{\partial y}(x, y)) \neq (0, 0)$ pour tout point $(x, y) \in \mathbf{IF}_{17} \times \mathbf{IF}_{17}$ et donc \mathbf{E}

est une courbe non singulière, c'est – à – dire elliptique sur \mathbf{IF}_{17} .

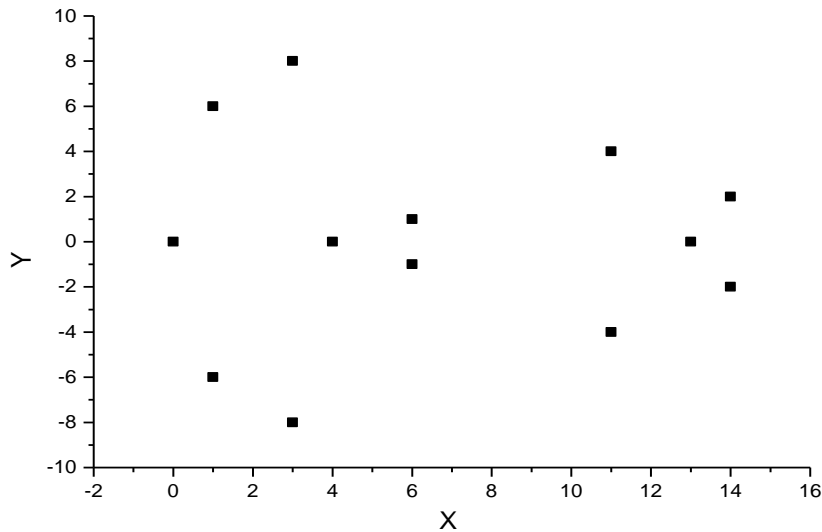
Les valeurs possibles de y en fonction de $x \in \mathbf{IF}_{17}$ sont données dans le tableau suivant :

x	0	1	2	3	4	5	6	7	8	9	10	11	12	13	14	15	16
y	0	± 6	–	± 8	0	–	± 1	–	–	–	–	± 4	–	0	± 2	–	± 7

Donc :

$$\mathbf{E}(\mathbf{IF}_{17}) = \left\{ (0,0) ; (1, \pm 6) ; (3, \pm 8) ; (4,0) ; (6, \pm 1) ; (11, \pm 4) ; (13,0) ; (14, \pm 2) ; (16, \pm 7) \right\} \cup (\infty)$$

Illustration graphique de cette courbe



$$E : y^2 = x^3 + x \text{ dans } \mathbb{F}_{17}$$

Remarque 1 : Selon la caractéristique du corps de base, l'équation d'une courbe elliptique peut être simplifiée. On peut distinguer les cas suivants :

- Si $\text{car}(\bar{K}) \neq 2$ (en pratique $K = \mathbb{F}_N$ corps fini avec N un grand nombre premier), on élimine les monômes en xy et en y par le changement de variables (x, y) par $(x, \frac{1}{2}(y - a_1x - a_3))$ on obtient l'équation de la courbe sous la forme suivante :

$$E : y^2 = 4x^3 + b_2x^2 + 2b_4x + b_6$$

avec :

$$b_2 = a_1^2 + 4a_2$$

$$b_4 = 2a_4 + a_1a_3$$

$$b_6 = a_3^2 + 4a_6$$

Posons en suite:

$$b_8 = a_1^2a_6 + 4a_2a_6 - a_1a_3a_4 + a_2a_3^2 - a_4^2 \quad \text{et} \quad c_4 = b_2^2 - 24b_4$$

$$c_6 = b_2^3 + 36b_2b_4 - 216b_6$$

Chapitre 1 : Arithmétique des Courbes Elliptiques

Invariants des courbes elliptiques :

Toute courbe elliptique E/K possède plusieurs invariants : le discriminant, l'invariant modulaire, l'invariant différentiel, le conducteur, etc.

Définition 2 : le discriminant d'une courbe elliptique E/K , est le polynôme

"homogène" de degré 12 de l'anneau $\mathbb{Z}[b_2, b_4, b_6, b_8]$ égal à :

$$\Delta(E) = 9b_2b_4b_6 - 8b_4^3 - 27b_6^2 - b_2^2b_8$$

Définition 3: Soit K un corps de caractéristique $\text{car}(K) \neq 2, 3$ On définit l'invariant

modulaire $j(E)$ d'une courbe elliptique E/K d'équation de Weierstrass

$$E/K : y^2 + a_1xy + a_3y = x^3 + a_2x^2 + a_4x + a_6 \text{ par } : j(E) = c_4^3/\Delta(E),$$

ce qui a un sens car $\Delta(E) \neq 0$ puisque E/K est elliptique (et donc lisse)

Remarque 2 :

Un simple calcul fournit que :

$$4b_8 = b_2b_6 - b_4^2 \quad \text{et} \quad 1728\Delta = c_4^3 - c_6^2$$

Par ailleurs, dans le cas où $\text{car}(\bar{K}) \neq 2, 3$, on peut simplifier davantage l'équation de la

courbe elliptique en utilisant le changement de variable suivant :

$$(x, y) = ((x - 3b_2)/36, y/108) \text{ , en sorte que l'équation se simplifie :}$$

$$E/K : y^2 = x^3 - 27c_4x - 54c_6$$

On a alors le résultat important suivant :

Chapitre 1 : Arithmétique des Courbes Elliptiques

Théorème 1:

Soient K un corps de caractéristique $\text{car}(K) \neq 2,3$, et E/K une courbe elliptique

(a) La courbe elliptique E/K donnée par son équation de Weierstrass peut

Etre classée de la manière suivante :

(i) E/K est non singulière si et seulement si $\Delta(E) \neq 0$

(ii) E/K possède un nœud si et seulement si $\Delta(E) = 0$ et $c_4 \neq 0$

(iii) E/K a un point de rebroussement si et seulement si $\Delta(E) = c_4 = 0$

Dans les cas (ii) et (iii), on dit que le point est singulier.

(b) Deux courbes elliptiques sont isomorphes (sur \bar{K}) si et seulement si elles ont le même j -invariant.

(c) Soit $j_0 \in \bar{K}$. alors il existe une courbe elliptique (définie sur $K(j_0)$) ayant j_0 comme j -invariant

Preuve : [Sil86]

Remarque 3 : Concernant les caractéristiques 2 et 3, les conditions $a_1^2 \neq -a_2$ et $a_1 \neq 0$ assurent que les courbes ne sont pas supersingulière dont il est connu qu'elles sont sensibles à l'attaque MOV de Menezes – Okamoto – Vanstone et Frey – Rück

L'ensemble des points d'une courbe elliptique peut être muni d'une structure de groupe abélien dont l'élément neutre est le point à l'infini O . La loi de groupe peut être interprétée géométriquement, dans le cas réel, grâce à la méthode dite de la « sécante /tangente» (voir figure 1.2).

La somme de deux points $P \in E(\mathbb{R})$ et $Q \in E(\mathbb{R})$, est obtenue de la manière suivante : on commence par tracer la droite passant par ces deux points. Cette droite coupe la courbe nécessairement en un troisième point noté $R = -(P + Q)$. La somme des points P et Q ($P \neq Q$) est alors le symétrique de R par rapport à l'axe de symétrie de la courbe.

Chapitre 1 : Arithmétique des Courbes Elliptiques

Cette construction permet alors de préciser la loi de groupe de $E(\mathbb{R})$:

Proposition 1 : Soit $E(\mathbb{R}) : y^2 = x^3 + ax + b$ une courbe elliptique sur \mathbb{R} , alors $E(\mathbb{R})$ est un groupe abélien pour la loi de composition suivante :

1. $P + 0 = 0 + P = P$ pour tout $P \in E(\mathbb{R})$.
2. Soit $P = (x, y) \in E(\mathbb{R})$. on définit $-P$ par: $-P = (x, -y)$
3. Soient $P_1 = (x_1, y_1)$ et $P_2 = (x_2, y_2)$ deux points sur la courbe tels que $P_1 \neq -P_2$.

Alors

$$P_1 + P_2 = (x_3, y_3)$$

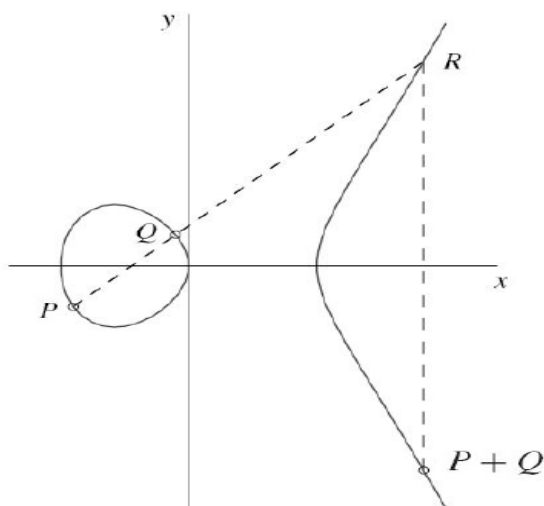
avec :

$$x^3 = \lambda^2 - x_1 - x_2$$

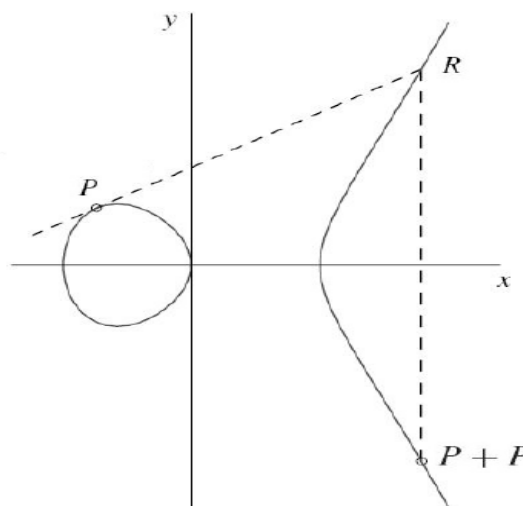
$$y^3 = \lambda(x_1 - x_3) - y_1$$

Où $\lambda = \frac{y_2 - y_1}{x_2 - x_1}$ si $P_1 \neq P_2$, et $\lambda = \frac{3x_1^2 + a}{2y_1}$ sinon

Illustration de cette loi sur des courbes elliptiques sur \mathbb{R}



(a) Addition de deux points



(b) Doublement de point

Fig. 1.2 – lois de groupe sur $E_2(\mathbb{R})$

Dans le cas où $\text{Car}(\mathbf{K}) = 5$, on obtient les résultats suivants :

Chapitre 1 : Arithmétique des Courbes Elliptiques

Proposition 2 : Soit $E \setminus K : y^2 = x^3 + ax^2 + b$ une courbe elliptique avec $\text{Car}(K) = 5$, alors $E \setminus K$ est un groupe pour la loi de composition suivante :

1. $P + \mathbf{0} = \mathbf{0} + P = P$ pour tout $P \in E(K)$.
2. Soit $P = (x, y) \in E(K)$. on définit $-P$ par: $-P = (x, -y)$
3. Soient $P_1 = (x_1, y_1)$ et $P_2 = (x_2, y_2)$ deux points sur la courbe tels que $P_1 \neq -P_2$

Alors

$$P_1 + P_2 = (x_3, y_3)$$

avec

$$x_3 = \lambda - a - x_1 - x_2$$

$$y_3 = \lambda(x_1 - x_3) - y_1$$

où $\lambda = \frac{y_2 - y_1}{x_2 - x_1}$ si $p_2 \neq p_1$, et $\lambda = \frac{ax_1}{y_1}$ sinon

Remarque 4 : Les équations précédentes permettent de définir une loi de groupe analogue pour une courbe elliptique sur n'importe quel corps K de caractéristique $\text{Car}(K) \neq 2, 3$

Dans le cas où $\text{Car}(K) = 2$ on obtient le résultat suivant:

Proposition 3 : Soit $E \setminus K : y^2 + xy = x^3 + ax^2 + b$ une courbe elliptique avec $\text{Car}(K) = 2$, alors $E \setminus K$ est un groupe pour la loi de composition suivante :

1. $P + \mathbf{0} = \mathbf{0} + P = P$ pour tout $P \in E \setminus K$.
2. Soit $P = (x, y) \in E \setminus K$. on définit $-P$ par: $-P = (x, x + y)$
3. Soient $P_1 = (x_1, y_1)$ et $P_2 = (x_2, y_2)$ deux points sur la courbe tels que $P_1 \neq -P_2$, alors

$$P_1 + P_2 = (x_3, y_3)$$

avec :

$$x_3 = \lambda^2 + \lambda + x_1 + x_2 + a$$

$$y_3 = \lambda(x_1 - x_3) + x_3 + y_1$$

Chapitre 1 : Arithmétique des Courbes Elliptiques

où $\lambda = \frac{y_2 + y_1}{x_2 + x_1}$ si $p_1 \neq p_2$, et $\lambda = x_1 + \frac{y_1}{x_1}$ sinon

Définitions 4 : multiplication par un scalaire :

- On définit, pour tout entier $k \in \mathbb{Z}$, et pour tout $P \in E$ le morphisme de multiplication scalaire:

$$[k]P = P + \dots + P \text{ (} k \text{ - termes)}, \text{ si } k > 0$$

$$[0]P = O_E \text{ et, } [-k]P = [k](-P)$$

- On définit alors l'ordre d'un point $P \in E$ comme étant le plus petit entier positif k tel que $[k]P = O_E$

Si $[n]P = O_E$ pour un certain $P \in E$, on dit que P est un point de n -torsion

- On note $E[n] = \{P \in E : [n]P = O_E\}$ le sous-groupe des points de n -torsion de la courbe elliptique $E \setminus K$
- On note enfin : $E(K)[n] = \{P \in E(K) : [n]P = O_E\}$ le sous-groupe des points de n -torsion de $E \setminus K$ qui est l'ensemble des points K -rationnel de E .

Définition 5: Soit E une courbe elliptique définie sur un corps fini \mathbb{F}_q .

- On note $\#E(\mathbb{F}_q)$ le nombre de points de $E(\mathbb{F}_q)$ que l'on appelle aussi l'ordre de la courbe elliptique
- On appelle trace d'une courbe elliptique (ou trace du Frobenius) le scalaire t vérifiant la relation : $\#E(\mathbb{F}_q) = q + 1 - t$

On a alors le résultat suivant

Théorème 2 (Hasse) :

La trace t d'une courbe elliptique vérifie l'inégalité : $|t| \leq 2\sqrt{q}$

Preuve : [sil 86, théorème 5.3.1]

1. 2. Isogénie de courbes elliptiques :

Définition 6 : Soient E_1 et E_2 deux courbes elliptiques. une isogénie entre E_1 et E_2 est un morphisme : $\phi : E_1 \rightarrow E_2$ Satisfaisant à la condition $\phi(O_{E_1}) = O_{E_2}$

E_1 et E_2 sont dites isogènes s'il existe une isogénie ϕ entre elles avec $\phi(O_{E_1}) \neq \{O\}$

Puisque les courbes elliptiques sont des groupes les applications entre elle possède une structure de groupe. Posons alors :

Chapitre 1 : Arithmétique des Courbes Elliptiques

$$\text{Hom} \{E_1, E_2\} = \{\text{isogénies } \phi : E_1 \rightarrow E_2 \}$$

Alors $\text{Hom} \{E_1, E_2\}$ est un groupe pour la loi d'addition suivante:

$$(\varphi + \phi)(P) = \varphi(P) + \phi(P)$$

Si E est une courbe elliptique. on note : $\text{End}(E) = \text{Hom}(E, E)$, l'anneau muni de l'addition précédente et de la multiplication donnée par la composition des applications suivantes :

$$(\phi \circ \psi)(P) = \phi(\psi(P))$$

Soit $m \in \mathbb{Z}$ on considère l'isogénie : $[m]: E \rightarrow E$ défini par :

$$[m](P) = P + P + \dots + P \text{ (m fois) si } m > 0$$

Si $m < 0$: $[m]P = [-m](-P)$, étant entendu que $[0]P = O$. On a alors Une courbes elliptique E est une variété abélienne de dimension 1 ; donc elle est projective, non singulière, avec une structure de groupe algébrique, de point neutre à l'infini $O_E = (\infty, \infty)$, de groupe de Mordell – Weil $E(K)$ Soit K un corps commutatif . Il y a des morphismes particulier $E(K) \rightarrow E'(K)$ classés dans la classe des isogénies de Courbes Elliptiques.

Définition 7 : Soient deux Courbes Elliptiques E et E' sur le même corps K , d'éléments neutres respectifs O_E et $O_{E'}$, de groupes de Mordell – Weil $E(K)$ et $E'(K)$ une isogénie de E sur E' est un homomorphisme $\lambda : E(K) \rightarrow E'(K)$ qui satisfait les conditions :

1. λ n'est pas l'homomorphisme nul
2. le noyau de λ est un sous groupe d'ordre fini de $E(K)$
3. λ est un homomorphisme surjectif
4. $\lambda(O_E) = O_{E'}$ pour les points à l'infini O_E de E , $O_{E'}$ de E'
5. $\lambda(P + R) = \lambda(P) + \lambda(R)$ pour tous points P et R de E .

L'homomorphisme nul est l'homomorphisme $f : A \rightarrow B$ de valeur $f(a) = O_{E'}$.

Le noyau de λ est l'image réciproque du point $O_{E'} = (\infty, \infty)$.

$$\text{Ker } \lambda = \{P \in E(K) ; \lambda(p) = O_{E'}\}.$$

Un homomorphisme $f : A \rightarrow B$ est surjectif si l'équation $f(a) = b$ admet une solution a au moins pour tout élément $b \in B$.

Les deux Courbes Elliptiques E et E' sont isogènes par l'isogénie $\lambda : E(K) \rightarrow E'(K)$.

Les isogénies sont caractérisées par un invariant.

Chapitre 1 : Arithmétique des Courbes Elliptiques

Définition 8 : Le degré d'une isogénie λ est égal à l'ordre de son noyau.

Exemple 1 : Une isogénie $\lambda : E(k) \rightarrow E'(k)$ de degré 6 admet un noyau F , sous groupe de $E(k)$ d'ordre 6 :

$$F = \{P, 2P, 3P, 4P, 5P, 6P = o_E\} = \{P, 2P, 3P, -2P, -P, o_E\}.$$

Exemple 2: (exemple 4 – 5 dans Shimura Goro):

Soient deux Courbes Elliptiques E/Q et E'/Q .

$$E: y^2 = x^3 + ax^2 + bx \in Q[X, Y]$$

$$E': y^2 = x^3 - 2ax^2 + (a^2 - 4b)x \in Q[X, Y]$$

Vérifions que E et E' sont des Courbes Elliptiques en calculant leurs discriminants.

Nous trouvons

$$\Delta(E) = 16 b^2(a^2 - 4b) \neq 0 \text{ pour } b \neq 0 \text{ et } 4b \neq a^2$$

$$\Delta(E') = 512 b(a^2 - 4b)(a - 2b) \neq 0 \text{ pour } a \neq 2b \text{ et } b \neq 0$$

Il en résulte les conditions. $a \neq 2b, b \neq 0$ et $b \neq a^2$

Soit les deux homomorphismes

$$\lambda : E(K) \rightarrow E'(K) \text{ de valeur. } \lambda(x, y) = \left(\frac{y^2}{x^2}, \frac{y(b - x^2)}{x^2} \right)$$

$$\lambda' : E'(K) \rightarrow E(K) \text{ de valeur. } \lambda'(x, y) = \left(\frac{y^2}{4x^2}, \frac{y(a^2 - 4b - x)}{8x^2} \right)$$

Le noyau de λ est le sous groupe F de $E(Q)$ égal à :

$$F = \ker(\lambda) = \{P \in E(Q); \lambda(P) = o_{E'}\}.$$

Le point $P = (0, 0)$ satisfait $2P = (\infty, \infty) = o_E$

Donc λ est une isogénie de degré 2.

Le point $P' = (0, 0)$ satisfait $2P' = (\infty, \infty) = o_{E'}$

Donc λ' est une isogénie de degré 2. Il en résulte que leurs composées.

$$\lambda \circ \lambda' : E' \rightarrow E' \quad \text{et} \quad \lambda' \circ \lambda : E \rightarrow E.$$

Sont des isogénies de degré 2.

Cet exemple implique une méthode de détermination des isogénies des Courbes elliptiques.

Proposition 4 : Soit une Courbe Elliptique E/K sur un corps commutatif K .

Chapitre 1 : Arithmétique des Courbes Elliptiques

A chaque sous groupe fini IF du groupe $E(K)$ de Mordell – Weil de E il correspond une isogénie

$$\lambda : E(K)/IF \rightarrow E(K)$$

de noyau F .

Preuve : Le groupe quotient $E(K)/IF$ est additif abélien; le sous groupe IF est dans la classe neutre. Alors $\lambda(\text{cl}(F)) = 0_E$ et $\lambda(P + R) = \lambda(P) + \lambda(R)$ pour tous points P et R tels que : $\text{cl}(P) \neq IF$ et $\text{cl}(R) \neq IF$.

Proposition 5 : Soient deux isogénies de Courbes Elliptiques

$$\lambda : E_1(K) \rightarrow E_2(K) \text{ et } \Psi : E_2(K) \rightarrow E_3(K).$$

Alors la composée $\Psi \circ \lambda : E_1(K) \rightarrow E_3(K)$ est une isogénie

$$\begin{array}{ccc}
 & \lambda & \\
 E_1(K) & \longrightarrow & E_2(K) \\
 \Psi \circ \lambda & \searrow & \swarrow \Psi \\
 & E_3(K) &
 \end{array}$$

Preuve : Pour les points à l'infini des 3 Courbes Elliptiques.

$$\Psi \lambda(0_{E_1}) = \Psi(0_{E_2}) = 0_{E_3}$$

Pour tous points P et R de E_1

$$\Psi \lambda(P + R) = \Psi(\lambda(P) + \lambda(R)) = \Psi(\lambda(P)) + \Psi(\lambda(R))$$

Proposition 6 : Soient deux isogénies de Courbes Elliptiques

$$\lambda : E_1(K) \rightarrow E_2(K) \text{ et } \mu : E_1(K) \rightarrow E_3(K).$$

si $\text{Ker}(\lambda) \subset \text{Ker}(\mu)$, alors il existe une isogénie unique $f : E_2(K) \rightarrow E_3(K)$.

Preuve : Soient deux isogénies λ et μ et le diagramme commutatif.

$$E_1(K) \xrightarrow{\lambda} E_2(K)$$

Chapitre 1 : Arithmétique des Courbes Elliptiques

$$\begin{array}{ccc}
 & \searrow & \swarrow \\
 \mu & & \lambda \\
 & \searrow & \swarrow \\
 & E_3(K) &
 \end{array}
 \quad f \quad \text{Ker}(\lambda) \subset \text{Ker}(\mu)$$

Relations entre les points à l'infini

$$\lambda(0_{E_1}) = 0_{E_2} \text{ et } \mu(0_{E_1}) = 0_{E_3} \text{ cela implique } f(0_{E_2}) = 0_{E_3}$$

Les formules d'homomorphismes

$$\lambda(P_1 + R_1) = \lambda(P_1) + \lambda(R_1)$$

$$\mu(S_1 + T_1) = \mu(S_1) + \mu(T_1)$$

et l'inclusion des noyaux $\text{Ker}(\lambda) \subset \text{Ker}(\mu)$ impliquent les homomorphismes

$$E_1(K) \setminus \text{Ker}(\lambda) \rightarrow E_2(K)$$

$$E_1(K) \setminus \text{Ker}(\mu) \rightarrow E_3(K)$$

$$\text{et } E_1(K) \setminus \text{Ker}(\lambda) \rightarrow E_2(K) \rightarrow E_3(K)$$

$$\text{Soit } f: E_2(K) \rightarrow E_3(K).$$

1.2.1 – Multiplication par des entiers rationnels :

Ce sont des isogénies particulières de Courbe Elliptique.

Pour tout entier rationnel $m \in \mathbb{Z}, m \neq 0$, le symbole $mP, P \in E(K)$ représente les points :

$$mP = P + P + \dots + P, \text{ } m \text{ fois } P \text{ si } m > 0$$

$$mP = (-P) + (-P) + \dots + (-P), \text{ } (-m) \text{ fois } -P \text{ si } m < 0,$$

$$0P = 0_E \text{ si } m = 0.$$

Considérons l'homomorphisme $t_m: E(K) \rightarrow E(K)$,

$$\text{de valeur } t_m(P) = mP.$$

Proposition 7: Les multiplications t_m sur les Courbes Elliptiques $E \setminus \mathbb{Q}$ sont des isogénies de degré m^2 pour $m \neq 0$.

Preuve : Vérifions les propriétés des isogénies des Courbes Elliptiques, l'hypothèse $m \neq 0$ implique :

$$t_m(P) \neq 0_E, \text{ donc } t_m \text{ n'est pas l'homomorphisme nul.}$$

$$t_m(0_E) = m \cdot 0_E = 0_E :$$

$$t_m(P + R) = m(P + R) = mP + mR = t_m(P) + t_m(R)$$

Chapitre 1 : Arithmétique des Courbes Elliptiques

Pour tous points P et R du groupe de MORDELL – WEIL $E(\mathbb{Q})$ Le noyau de t_m est le sous groupe F de $E(\mathbb{Q})$ égal à :

$$F = \{P \in E(\mathbb{Q}), mp = 0_E\}$$

F est donc le sous groupe de m – torsion $E[m]$ de E

Cette multiplication t_m est donc un endomorphisme surjectif du groupe $E(\mathbb{Q})$. Avec un argument d'endomorphisme " dual ", on obtient le résultat :

$$\text{Ord}(F) = m^2 = \text{degré de la multiplication } t_m : E(K) \rightarrow E(K).$$

A chaque isogénie $\lambda : E(K) \rightarrow E'(K)$ est associée une isogénie duale.

Définition 9: *Lorsqu'une courbe E est isogène à une courbe E' la courbe E' est isogène à E, le noyau de cette isogénie est un sous groupe fini du groupe E(K) L'ordre de λ ce sous groupe est égal au degré de l'isogénie λ .*

A chaque isogénie est associée une isogénie dual par la.

Définition 10: *l'isogénie duale d'une isogénie de degré d :*

$\lambda: E(K) \rightarrow E'(K)$ est le morphisme de groupes $\hat{\lambda}: E'(K) \rightarrow E(K)$ qui satisfait les deux composées $\lambda \hat{\lambda}$ est la multiplication par d sur $E'(K)$ et $\hat{\lambda} \lambda$ est la multiplication par d sur $E(K)$

les isogénies de courbes elliptiques, étant des morphismes de variétés abéliennes, sont soumises à l'opération de composition des applications.

Proposition 8 : *Soit deux isogénies $\lambda : E(K) \rightarrow E'(K)$ et $\mu : E'(K) \rightarrow E_1(K)$*

1. *la composée $\mu \circ \lambda: E(K) \rightarrow E_1(K)$ est une isogénie de courbes elliptiques*

2. *les isogénies duales $\hat{\lambda}, \hat{\mu}$ et $(\widehat{\lambda\mu})$ satisfait la relation : $(\widehat{\mu\lambda}) = \hat{\lambda} \hat{\mu}$*

3. *les degrés des isogénies satisfont les relations :*

$$\text{deg}(\lambda) = \text{deg}(\hat{\lambda}) \quad \text{et} \quad \text{deg}(\mu) = \text{deg}(\hat{\mu})$$

Proposition 9: *Pour une courbe elliptique E, sur un corps K, il y a seulement un nombre fini de courbes elliptiques isogènes à E .*

Chapitre 1 : Arithmétique des Courbes Elliptiques

1. 2. 2. Technique de Velu :

Soit une Courbe Elliptique E d'équation de Weierstrass:

$$E: y^2 + a_1xy + a_3y = x^3 + a_2x^2 + a_4x + a_6 \in K[x, y] \quad (1)$$

Sur le corps $K(E) = K(x, y)$ des fonctions rationnelles définies sur K, nous associons à tout point $p \neq o_E$, une valuation v_p de valeur :

$$v_p(x) \geq 0 ; v_p(y) \geq 0. \quad (2)$$

Au point à l'infini o_E , nous associons la valuation v_p de valeur :

$$v_0(x) = -2 ; v_0(y) = -3 \quad (3)$$

Mettons l'équation de E sous la forme :

$$g(x, y) = y^2 + a_1xy + a_3y - x^3 - a_2x^2 - a_4x - a_6 = 0 \quad (4)$$

L'invariant différentiel de E est égal à : $W(E) = \frac{dx}{-g'_y} = \frac{dy}{g'_x}$

Ou les dérivées partielles de la fonction $g(x, y)$ sont égales à :

$$g'_x = 3x^2 + 2a_2x + a_4 - a_1y \text{ et } g'_y = -(2y + a_1x + a_3). \quad (5)$$

En posant $z = -x / y$, nous obtenons les développements de x et de y en z :

$$\begin{aligned} x &= z^{-2} - d_1z^{-1} - d_2 - d_3z - d_4z^2 - d_5z^3 \dots\dots\dots ; \\ y &= -x/z = -z^{-3} + d_1z^{-2} + d_2z^{-1} + d_3z + d_4z^2 + d_5z^3 + \dots \end{aligned} \quad (6)$$

les relations entre les coefficients d_i et a_i sont :

$$\begin{aligned} d_1 &= a_1 ; & d_2 &= a_2 ; & d_3 &= a_3 ; \\ d_4 &= a_4 + a_1a_3 \\ d_5 &= a_1a_4 + a_2a_3 + a_1^2a_3; \\ d_6 &= a_6 + a_1^2a_4 + a_1^3a_3 + a_2a_4 + 2a_1a_2a_3 ; \dots\dots \end{aligned} \quad (7)$$

L'invariant différentiel de E est une fonction de z :

$$W(E) = dz \{1 + a_1z + (a_1^2 + a_4)z^2 + (a_1^3 + 2a_1a_2 + a_3)z^3 + \dots\} \quad (8)$$

Soit un point (X, Y) de la courbe isogène à E .

Chapitre 1 : Arithmétique des Courbes Elliptiques

A chaque point $P = (x, y)$ de E , nous associons le point (X, Y) par les relations :

$$X = x + \sum_{T \in F - O_E} (x(P+T) - x(T)) \quad (9)$$

$$Y = y + \sum_{T \in F - O_E} (y(P+T) - y(T))$$

Nous obtenons les développements de x et y en z :

$$\begin{aligned} X &= z^{-2} - a_1 z - a_2 - a_3 z - \dots ; \\ Y &= -z^{-3} + a_1 z^{-2} + a_2 z^{-1} + \dots \end{aligned} \quad (10)$$

La formule $Z = -X/Y$ implique le développement de Z en série :

$$Z = z + 2tz^3 + 3a_1 tz^6 + \dots \quad (11)$$

Nous en déduisons une relation entre X et Y indépendante de z :

$$Y^2 + A_1 XY + A_3 Y = X^3 + A_2 X^2 + A_4 X + A_6; \quad (12)$$

avec $A_1 = a_1$; $A_2 = a_2$; $A_3 = a_3$;

$A_4 = a_4 - 5t$ et $A_6 = a_6 - b_2 - 7w$; t et w de la formule (14) ci – dessous et b_2 se trouve dans l'équation de E :

$$y^2 = 4x^3 + b_2 x^2 + 2b_4 x + b_6 \quad \text{avec } b_2 = a_1^2 + 4a_2.$$

1. 2. 3. Algorithme de calcul des Courbes Elliptiques $E \setminus \mathbb{Q}$:

- 1) Soit une Courbe Elliptique E d'équation de Weierstrass (1) :
- 2) Choix d'un sous groupe fini F du groupe $E(\mathbb{Q})$.
- 3) Prendre $F_2 = \{P \in F, \text{ d'ordre } 2\}$.
- 4) l'ensemble R des points de $F - F_2 - \{O_E\}$, et $-R = \{-P ; P \in R\}$, tel que :

$$R \cup -R = F - F_2 - O_E \quad \text{et } R \cap -R = \{\emptyset\}.$$

- 5) Prendre la partie $S = F_2 \cup R$.
- 6) Calculer les dérivées partielles g'_x et g'_y avec la formule (4).
- 7) les coordonnées X et Y d'un point de la courbe isogènes sont :

$$(VELU-1) \quad X = x + \sum_{p \in S} \left(\frac{t_p}{x - x(p)} + \frac{u_p}{(x - x(p))^2} \right)$$

$$(VELU-2) \quad (13)$$

Chapitre 1 : Arithmétique des Courbes Elliptiques

$$Y = y - \sum_{p \in S} \left(u_p \frac{2y + a_1x + a_3}{(x - x(p))^3} + t_p \frac{a_1(x - x(p)) + y - y(p)}{(x - x(p))^2} + \frac{a_1u_p - g'_x(p)g'_y(p)}{(x - x(p))^2} \right)$$

est une isogénie de Courbes Elliptiques.

8) Calculer les nombres :

$g'_x(P)$; $g'_y(P)$ si $P \in F_2$ (sont les dérivées partielle); $t_p = g'_x(P)$ si $P \notin F_2$;

$$t_p = 6X^2 + b_2X + b_4 \quad \text{si } P \notin F_2.$$

(14)

$$u_p = 4X^3 + b_2X^2 + 2b_4X + b_6$$

$$t = \sum_{P \in S} t_p ; W = \sum_{P \in S} (u_p + t_p X(P))$$

9) L'équation de Weierstrass de la Courbe isogène $E' = E \setminus F$ est

$$E' = E / F : Y^2 + a_1XY + a_3Y = X^3 + a_2X^2 + (a_4 - 5t)X + a_6 - b_2t - 7\omega;$$

Exemple : Application de l'algorithme à la Courbe Elliptique E_1 d'équation de Weierstrass :

$$E_1 : y^2 = x^3 + 5 ; \tag{1}$$

Le calcul implique les invariants

$$\Delta(E_1) = -10800 = -2^4 \times 3^3 \times 5^2 \quad \text{et} \quad j(E_1) = 0. \tag{2}$$

Le groupe $E_1(K)$ a un sous groupe F d'ordre 3, formé des points :

$$F = \{ P = (0, \sqrt{5}), 2P = (0, -\sqrt{5}), 3P = O_E = (\infty, \infty) \}; \tag{3}$$

En utilisant la méthode de VELU, nous obtenons les ensembles :

$$F_2 = \{\emptyset\} \quad , \quad R = \{P\} = S. \tag{4}$$

Avec le calcul nous obtenons les coordonnées du point (X, Y) :

$$(x, y) \rightarrow \left[X = x + \frac{20}{x^2}, Y = y - \frac{40y}{x^3} \right] \tag{5}$$

Par le calcul nous obtenons les nombres de l'étape (8)

Chapitre 1 : Arithmétique des Courbes Elliptiques

$$t = 0, \omega = 20 ; \quad (6)$$

Nous en déduisons l'équation de Weierstrass de la Courbe Elliptique isogène E_2 :

$$E_2 = E_1 / F : Y^2 = X^3 - 135. \quad (7)$$

Le calcul implique les invariants :

$$\Delta(E_2) = -7873200 = -2^4 \times 3^9 \times 5^2 \quad \text{et} \quad j(E_2) = 0. \quad (8)$$

La proposition 5 et la relation $j(E_1) = j(E_2) = 0$ impliquent que les Courbes isogènes E_1 et E_2 sont isomorphes.

1.3. Isogénies, endomorphismes et points de torsion :

1.3.1. Isogénie, isogénie duale :

Soient E_1, E_2 deux courbes elliptiques rationnelle $\varphi: E_1 \rightarrow E_2$ définies sur un corps k et O_1, O_2 leurs points à l'infini, une fonction tel que $\varphi(O_1) = O_2$ est appelé isogénie Comme tout morphisme de courbes, une isogénie est soit surjective, soit constante.

Les isogénies vérifient par ailleurs la propriété remarquable d'être aussides morphismes de groupes ([Sil86] III. 4).

A toute isogénie non constante $\varphi: E_1 \rightarrow E_2$, on associe le morphisme de corps injectif

$$\varphi^* : \bar{k}(E_2) \rightarrow \bar{k}(E_1)$$

On dit que $\varphi : E_1 \rightarrow E_2$ est séparable, inséparable ou purement inséparable si l'extension de corps correspondante $\bar{k}(E_1)/\varphi^* \bar{k}(E_2)$ est respectivement séparable, inséparable ou purement inséparable.

On définit le degré de φ noté $\deg \varphi$, comme étant le degré de l'extension correspondante $\bar{k}(E_1)/\varphi^* \bar{k}(E_2)$; de même pour le degré de séparabilité \deg_s et le degré d'inséparabilité \deg_i .

En particulier

$$\deg \varphi = \deg_s \varphi \deg_i \varphi$$

Proposition 10: ([Sil86] p. 76)

Chapitre 1 : Arithmétique des Courbes Elliptiques

Soit $\varphi: E_1 \rightarrow E_2$ une isogénie non constante.

Le degré de séparabilité de φ est égal au nombre de points du noyau de φ :

$$\#(\ker\varphi) = \deg_s \varphi$$

Le degré d'inséparabilité est égal au degré de ramification de φ au dessus de chaque point de E_2 .

L'ensemble des isogénies d'une courbe E dans elle même forme un anneau, appelé anneau des endomorphismes de E et noté $\text{End}(E)$

Exemple :

1. Etant donnée la loi de groupe commutative sur E , on peut définir l'endomorphisme multiplication par m , $[m] \in \text{End}(E)$ qui consiste à additionner un point m fois à lui même. Pour tout $m \in \mathbb{Z}$, $\deg[m] = m^2$

2. Soient E une courbe elliptique définie sur \mathbb{F}_q et $\sigma \in \text{Gal}(\mathbb{F}_q/\mathbb{F}_p)$ tel que $\sigma(X) = X^p$.

On note E^σ la courbe obtenue en appliquant σ aux coefficients de E . Le p -ième Morphisme de Frobenius ϕ_p défini par $\phi_p(X, Y) = (X^p, Y^p)$ est une isogénie purement inséparable de E dans E^σ et $\deg \phi_p = \deg_{\mathbb{F}_p} \phi_p = p$.

3. De façon similaire, pour E une courbe elliptique définie sur \mathbb{F}_p , on définit le q -ième morphisme de Frobenius $\phi_q \in \text{End}(E)$, tel que $\phi_q(X, Y) = (X^q, Y^q)$. Cet endomorphisme est purement inséparable de degré q .

A chaque isogénie non constante $\varphi: E_1 \rightarrow E_2$ correspond une unique isogénie $\hat{\varphi}: E_2 \rightarrow E_1$, appelée isogénie duale, telle que $\hat{\varphi} \circ \varphi = [\deg\varphi] \in \text{End}(E_1)$ et $\varphi \circ \hat{\varphi} = [\deg\varphi] \in \text{End}(E_2)$.

Les propriétés remarquables de ces Isogénies sont données dans [Sil86](section III. 6). Elles permettent en particulier de donner une bonne description des points de m -torsion, et pourront s'avérer utiles dans la construction de couplages, dits symétriques ou self-pairings.

1.3.2 Groupes de torsion :

On note $E[m] = \ker([m])$ le sous-groupe des points de m -torsion. De la même façon, on définit pour K extension quelconque du corps K , le sous-groupe $E(K)[m]$ des points K -rationnels de m -torsion.

La structure des groupes de torsion est détaillée dans le théorème suivant :

Chapitre 1 : Arithmétique des Courbes Elliptiques

Théorème 3 : ([Sil86] p. 89).

Soit E une courbe elliptique sur un corps K et $m \in \mathbb{Z}^*$

- Si $\text{car}(k) = 0$ ou $\text{car}(k) \nmid m = 1$, alors : $E[m] \simeq (\mathbb{Z}/m\mathbb{Z}) \times (\mathbb{Z}/m\mathbb{Z})$.
- Si $\text{car}(k) = p$, alors
 - ou bien $E[\pi^e] \simeq \{O\}$ pour tout $e \in \mathbb{N}^*$
 - ou bien $E[P^e] = \mathbb{Z}/P^e\mathbb{Z}$ pour tout $e \in \mathbb{N}^*$

De ce théorème, on peut déduire facilement la structure de groupe des points \mathbb{F}_q rationnels d'une courbe E définie sur \mathbb{F}_q :

Corollaire 1 : Soit E une courbe elliptique définie sur \mathbb{F}_q , alors

$$E(\mathbb{F}_q) \simeq \mathbb{Z}/n_1\mathbb{Z} \times \mathbb{Z}/n_2\mathbb{Z} \text{ avec } n_1/n_2 \text{ et } n_1/q - 1$$

preuve : $E(\mathbb{F}_q)$ étant un groupe commutatif, il est de la forme $\mathbb{Z}/n_1\mathbb{Z} \times \dots \times \mathbb{Z}/n_k\mathbb{Z}$, où $n_1/\dots/n_k$. S'il existe $m \in \mathbb{Z}^*$ premier à la caractéristique p de \mathbb{F}_q , tel que m/n_1 , on compte alors m^k points de m -torsion, ce qui impose d'après le théorème que $k \leq 2$. De même, si p/n_1 , avec le théorème, on a nécessairement $k \leq 1$. Dans tous les cas, $E(\mathbb{F}_q)$ est de la forme $\mathbb{Z}/n_1\mathbb{Z} \times \mathbb{Z}/n_2\mathbb{Z}$, où n_1/n_2 . On utilisant le couplage de Weil on montre que $n_1/q - 1$

Lemme 1 : Soit E une courbe elliptique définie sur \mathbb{F}_{q^e} ($q = p^d$), $e \geq 1$ un entier quelconque, et m un entier premier à p . Alors :

$$E[m] \subset E(\mathbb{F}_{q^e}), \mu_m \subset \mathbb{F}_{q^e}^*$$

Où μ_m désigne l'ensemble des racines m -ième de l'unité de \mathbb{F}_{q^e} .

En particulier, comme $E[n_1] \subset E(\mathbb{F}_q)$, on a $n_1/q - 1$.

1.3.3 Structure de l'anneau des endomorphismes :

Il est intéressant pour la construction de certains couplages dits "self-pairing" de bien connaître la structure de $\text{End}(E)$. Avec les exemples donnés ci-dessous (voir 1.3.1), il est clair que celui-ci contient au moins un sous-anneau isomorphe à \mathbb{Z} (pour tout $m \in \mathbb{Z}$, $[m] \in \text{End}(E)$) et que cette inclusion est stricte pour les corps finis (si E définie sur \mathbb{F}_q ,

Chapitre 1 : Arithmétique des Courbes Elliptiques

$\phi_q \in \text{End}(E)$

Le théorème qui suit résume les différentes possibilités pour la structure de $\text{End}(E)$

Théorème 4 : ([Sil86] p. 102).

L'anneau des endomorphismes d'une courbe elliptique est soit \mathbb{Z} , soit un ordre dans un corps quadratique imaginaire, soit un ordre dans une algèbre de quaternions.

Lorsque $\mathbb{Z} \subset \text{End}(E)$, on dit que la courbe E est à multiplication complexe.

En particulier, si la courbe est définie sur un corps fini, $\text{End}(E)$ contient également l'endomorphisme de *Frobenius*¹ et donc la courbe est toujours à multiplication complexe.

¹

il est possible que l'endomorphisme de Frobenius soit égal à l'endomorphisme de multiplication par un entier $m \in \mathbb{Z}$, mais dans ce cas, E est supersingulière et $\mathbb{Z} \subsetneq \text{End}(E)$.

Chapitre 2 : Couplages

Couplages:

Un couplage est une application bilinéaire de groupes, c'est-à-dire une application

$$e : G_1 \times G_2 \rightarrow G_3$$

où G_1, G_2 sont des groupes additifs et G_3 un groupe multiplicatif tels que :

$$e(S_1 + S_2, T) = e(S_1, T)e(S_2, T) \text{ et } e(S, T_1 + T_2) = e(S, T_1)e(S, T_2)$$

un exemple est donné par l'application suivante :

$$\begin{aligned} f : M_k(\mathbb{Z}/n\mathbb{Z}) \times M_k(\mathbb{Z}/n\mathbb{Z}) &\rightarrow F_p \\ (A, B) &\rightarrow a^{\text{tr}(AB)} \end{aligned}$$

Où $a \in F_p$ est d'ordre n cependant ce couplage ne conviendrait pas d'application cryptographique car le problème de logarithme discret est trivial dans le groupe de départ $M_k(\mathbb{Z}/n\mathbb{Z})$.

A ce jour les couplages connus en cryptographie sont les couplages de *Tate* et de *Weil*

2. 1. Couplage de Weil.

Soit E une courbe elliptique définie sur \mathbb{F}_q . on rappelle que si $D = \sum n_p P$ un diviseur et f une fonction rationnelle tels que $\text{SUPP}(D)$ et $\text{SUPP}(\text{div}(f))$ sont disjoints, on peut définir

$$f(D) = \prod f(P)^{n_p}$$

Définition1:

soit m un nombre premier avec la caractéristique de \mathbb{F}_q , K une extension de \mathbb{F}_q telle que tous les points $E[m]$ soient définis sur K (autrement dit $E[m] \subset E/K$). Soient $P, Q \in E[m]$.

Chapitre 2 : Couplages

Soient A, B diviseurs de degré 0 tels que $D_P \sim [P] - [O]$ et $D_Q \sim [Q] - [O]$

et que les supports de D_P et de D_Q sont disjoints (on peut prendre $D_P = [P+T] - [T]$,

$D_Q = [Q+S] - [S]$ avec S, T convenables). Soient f_{D_P}, f_{D_Q} des fonctions telles que

$\text{div}(f_{D_P}) = m D_P$ et $\text{div}(f_{D_Q}) = m D_Q$. le couplage de Weil est une application

$$e_m : E[m] \times E[m] \rightarrow \mu_m(K)$$

définie par

$$e_m(P, Q) = f_{D_P}(D_Q) / f_{D_Q}(D_P)$$

Remarque 1 : le couplage est bien défini (c'est-à-dire ne dépend pas du choix de D_P

et de D_Q car pour tout g : $f_{D_P + \text{div}(g)}(D_Q) / f_{D_Q}(D_P + \text{div}(g)) = f_{D_P}(D_Q) / f_{D_Q}(D_P)$

. De même, si on remplace D_Q par un diviseur équivalent, la valeur de $f_{D_P}(D_Q) /$

$f_{D_Q}(D_P)$ ne change pas. C'est une racine de l'unité car

$$\left(f_{D_P}(D_Q) / f_{D_Q}(D_P) \right)^m = f_{D_P}(mD_Q) / f_{D_Q}(mD_P) = 1 \quad \text{d'après la réciprocité de Weil}$$

Si on choisit $D_P = [P+T] - [T]$, $D_Q = [Q+S] - [S]$ de sorte que $T, S, Q+S, P+T$

soient différents, alors on a une expression explicite pour $e_m(P, Q)$

proposition 1:

$$e_m(P, Q) = \frac{f_Q(T) f_P(Q-T)}{f_P(-T) f_Q(P+T)} \quad (2.1)$$

Où f_P et f_Q sont des fonctions telles que $\text{div}_{f_P} = m[P] - m[O]$ et $\text{div}_{f_Q} = m[Q] - m[O]$

Chapitre 2 : Couplages

Preuve :

D'après la définition de $e_m(P, Q)$ on a $e_m(P, Q) = \frac{g(Q)/g(0)}{f_Q(P+T)/f_Q(T)}$

où g est une fonction telle que $\text{div}(g) = m[P+T] - m[T]$ on a donc $g = f_P \circ \tau_{-T}$ où τ_{-T} est la translation par $-T$. Donc $g(Q) / g(0) = f_P(Q-T) / f_P(T)$ et on trouve la formule demandée.

Proposition 2:

le couplage de Weil à les propriétés suivante : ([Sil86]p96 – 98)

1 • bilinéaire : $e_m(S_1 + S_2, T) = e_m(S_1, T)e_m(S_2, T)$ et

$$e_m(S, T_1 + T_2) = e_m(S, T_1)e_m(S, T_2)$$

2 • alternance (antisymétrique) : $e_m(T, T) = 1$ par conséquent

$$e_m(S, T) = e_m(T, S)^{-1}$$

3 • non – dégénérescence : si $e_m(S, T) = 1$ pour tout $S \in E[m]$ alors $T = O$

4 • action galoisienne : pour tout $\sigma \in \text{Gal}(\bar{F}_q/F_q)$ on a $e_m(S, T)^\sigma = e_m(S^\sigma, T^\sigma)$

5 • compatibilité : si $S \in E[mm']$ et $T \in E[m]$ alors $e_{mm'}(S, T) = e_m(m'S, T)$

Preuve :

1 • soient $P, Q, R \in E[m]$, f_1, f_2, f_3 fonctions telles que

$$\text{div}(f_1) = m[P] - m[O] = mD_1$$

$$\text{div}(f_2) = m[Q] - m[O] = mD_2$$

$$\text{div}(f_3) = m[R] - m[O] = mD_3$$

Alors

$$e_m(P+Q, R) = \frac{f_1 f_2(D_3)}{f_3(D_1 + D_2)} = \frac{f_1(D_3) f_2(D_3)}{f_3(D_1) f_3(D_2)} = e_m(P, R) e_m(Q, R) \quad . \text{ De même}$$

$$e_m(P, Q+R) = e_m(P, Q) e_m(P, R)$$

Chapitre 2 : Couplages

2• d'après la formule (2.1) on a
$$e(P, P) = \frac{f_n(T)}{f_n(-T)} \frac{f_n(P-T)}{f_n(P+T)} \quad \text{pour } P \neq 0, \pm P.$$

Si on prend T d'ordre 2, alors $T = -T$ et $e_m(P, P) = 1$. Reste à montrer qu'un tel choix est faisable.

Si m est pair, alors un tel T est différent de $0, \pm P$.

Si m impair, alors la caractéristique est impaire, donc il y a 3 points d'ordre 2 dans E , l'un d'entre eux est différent de $\pm P$ et on le prend pour T

3 - Soit $P \in E[m]$ tel que $e_m(P, Q) = 1$ pour tout $Q \in E[m]$. Fixons $R \in E(\bar{K})$ pour tout $X \in E(\bar{K})$

soit χ_X une fonction telle que $\text{div}(\chi_X) = m[X] - (m-1)[R] - [Y]$ où $Y = mX - (m-1)R$

Soit f une fonction telle que $\text{div}(f) = m[P] - m[O]$. Alors on a :

$$f(Y)f(R)^{m-1} = \left(\frac{f(X)}{\chi_X([P] - [O])} \right)^m$$

En effet, le terme à droite est égal à

$$\frac{f^n(X)}{\chi_X(m[P] - m[O])} = \frac{f(m[X])}{\chi_X(\text{div}(f))} = f(m[X] - \text{div}(\chi_X)) = f([Y] + (m-1)[R]).$$

Soit $Q \in E[m]$, g une fonction telle que $\text{div}(g) = m[Q + X] - [Q] = \text{div}(\chi_{X+Q}) - \text{div}(\chi_X)$.

on a

$$\frac{f(X+Q)}{\chi_{X+Q}([P] - [O])} = \frac{f([X+Q] - [X])f(X)}{f_2([P] - [O])\chi_X([P] - [O])} = e_m(P, Q) \frac{f(X)}{\chi_X([P] - [O])}$$

Comme $e_m(P, Q) = 1$ pour tout $Q \in \text{End}[m]$ il existe une fonction h telle que :

$$\frac{f(X)}{\chi_X([P] - [O])} = h(mX) = h(Y + (m-1)R)$$

Chapitre 2 : Couplages

Donc pour tout Y , on a $f(Y)f(R)^{m-1} = (h \circ \tau_{(m-1)R})^m(Y)$. comme R est constante, on a

$$m[P] - m[O] = \text{div}(f) = m \text{div}(h \circ \tau_{(m-1)R})$$

Donc $[P] \sim [O]$ ce qui montre que $P = O$

$$5 \bullet \text{ soit } m m' P = 0, m Q = 0, \text{div}(f_1) = m m' [P] - m m' [O], \text{div}(f_2) = m [Q + T] - m [T],$$

$$\text{div}(f_3) = m [m' P] - m [O]. \text{ Alors } e_{mm'}(P, Q) = \frac{f_1([Q + T] - [T])}{f_2^m([P] - [O])} \text{ et}$$

$$e_m(m' P, Q) = \frac{f_3([Q + T] - [T])}{f_2([m' P] - [O])}$$

on a

$$\text{div}(f_3) = m [m' P] - m [O] = \text{div}(f_1) + m ([m' P] + (m' - 1)[O] - m' [P])$$

, donc on peut supposer $f_3 = f_1 f_4^n$ où f_4 est une fonction telle que

$$\text{div}(f_4) = [m' P] + (m' - 1)[O] - m' [P]$$

. Alors

$$\begin{aligned} e_{mm'}(P, Q) &= \frac{f_3 f_1^{-m} ([Q + T] - [T])}{f_2^m ([P] - [O])} = \frac{f_3 ([Q + T] - [T]) f_1 (-\text{div}(f_2))}{f_2^m ([P] - [O])} \\ &= \frac{f_3 ([Q + T] - [T])}{f_2^m ([P] - [O]) f_2 (\text{div}(f_4))} \quad \text{d'après la réciprocité de Weil} \\ &= e_m(m' P, Q) \end{aligned}$$

Le couplage de Weil en gros sert à tester l'indépendance des points dans $E[m]$. En effet, si P et Q sont linéairement indépendants, $e_m(P, Q) = 1$. on le précise dans la proposition suivante :

Proposition 3 : soit $P \in E[m]$ d'ordre exacte m . Alors il existe $Q \in E[m]$ tel que $e_m(P, Q)$ soit une racine primitive d'ordre m de l'unité. par conséquent si $p_1, p_2 \in E[m]$, P_1 et P_2 sont dans le même coset de $\langle p \rangle$ si et seulement si $e_m(P, P_1) = e_m(P, P_2)$

Preuve:

On sait que $E[m] \cong \mathbb{Z}_m \oplus \mathbb{Z}_m$ (d'après la proposition 7 du chapitre 1). Soit $Q \in E[m]$ tel que P et Q soient deux générateurs de $E[m]$. Alors Q est aussi d'ordre m , et tout point

Chapitre 2 : Couplages

de $E[m]$ s'écrit comme combinaison linéaire de P et de Q . S'il existe $0 < d < m$ tel que $e(P, Q)^d = 1$, alors $e(P, dQ) = 1$. En plus $dQ \neq 0$ car Q est d'ordre m . Pour tout $aP + bQ \in E[m]$ on a : $e(aP + bQ, dQ) = e(P, dQ)^a = 1$, ce qui est en contradiction avec la non dégénérescence du couplage de *Weil*. Donc $e_m(P, Q)$ est une racine primitive d'ordre m de l'unité. Maintenant si $P_1 - P_2 = uP + vQ$, alors $e_m(P, P_1) = e_m(P, P_2)e_m(P, vQ)$ et $e_m(P, P_1) = e_m(P, P_2)$ si et seulement si $vQ = 0$. Ce résultat assure que si un point du couplage est fixé et que l'autre varie dans $E[m]$, on obtient un homomorphisme de groupe de $E[m]$ dans l'image du couplage c'est-à-dire μ_m .

2.2. Couplage de Tate :

Définition 2 : Soit l un nombre naturel premier avec la caractéristique de IF_q .

Soit $K = IF_{q^k}$ une extension de IF_q qui contiennent toutes les racines de l'unité d'ordre l . Soient $P \in E(K)[m], Q \in E(K)$. Soient D_P, D_Q diviseurs de degré 0 tels que modulo K^* , $D_P \sim [P] - [O]$ et $D_Q \sim [Q] - [O]$ et que les supports de D_P et de D_Q soient disjoints.

Soient f_{D_P} une fonction telle que $\text{div}(f_{D_P}) = l D_P$. Le couplage de Tate est une application

$$t: E(K)[l] \times E(K)/lE(K) \rightarrow K^*/K^{*l}$$

définie par

$$t(P, Q) = f_{D_P}(D_Q) \text{ modulo } K^{*l}$$

Remarque 2:

- Le couplage de Tate est bien défini car si on remplace $D(P)$ par un diviseur équivalent $D(P) + \text{div}(g)$, alors $f_{D(P)+\text{div}(g)}(D(Q)) = f_{D(P)}(D(Q))g(D(Q))^l \equiv f_{D(P)}(D(Q)) \text{ mod } k^*$. de même, $f_{D(P)}(D(Q) + \text{div}(g)) = f_{D(P)}(D(Q))f_{D(P)}(\text{div}(g)) = f_{D(P)}(D(Q))g(D(P))^l \equiv f_{D(P)}(D(Q)) \text{ mod } K^{*l}$

d'après la réciprocité de *Weil*. Enfin si $R \in E(K)$ alors on peut choisir

$$D_{Q+R} = D_Q + l([R] - [O]) \text{ et}$$

$$\begin{aligned}
 f_{D(P)}(D(Q + lR)) &= f_{D(P)}(D(Q))f_{D(P)}(l([R] - [O])) \\
 &= f_{D(P)}(D(Q))f_{D(P)}([R] - [O])^l \\
 &\equiv f_{D(P)}(D(Q)) \pmod{K^*}
 \end{aligned}$$

- Contrairement au couplage de *Weil* qui prend les deux arguments dans le même groupe, le couplage de *Tate* prend dans deux groupes différents $E(K)[l]$ et $E(K)[l] \setminus lE(K)$. Ces deux groupes ont le même cardinal.
- Toute classe d'équivalence de $E(K) \setminus lE(K)$ contient un représentant dans le même groupe de torsion $E[l]$

En prenant $D_p = [P] - [O]$, $D[Q] = [Q + T] - [T]$ on obtient une formule explicite pour le couplage de Tate similaire à la formule de la proposition (1)

Proposition 4 :

$$t_l(P, Q) = (f_p(Q + T)) / (f_p(T)) \quad (2.2)$$

Où f_p est une fonction telle que $\text{div}(f_p) = l[P] - l[O]$ et $t \in E(K)$ tel que les points $T, Q + T, P, O$ soient distincts.

Pour que le couplage rende une valeur exacte on peut définir

$$\tilde{t}(P, Q) = (f_p(D_Q))^{(q^k - 1)/l}$$

Proposition 5 : le couplage de *TATE* a les propriétés suivantes :

- 1) $t_l(O, T) \in (K^*)^l$ pour tout $T \in E(K)$
- 2) Si $Q \in lE(K)$ alors $t_l(P, Q) \in (K^*)^l$ pour tout $S \in E(K)[l]$
- 3) *bilinéarité* : $t_l(S_1 + S_2, T) = t_l(S_1, T) t_l(S_2, T)$ et $t_l(S, T_1 + T_2) = t_l(S, T_1) t_l(S, T_2)$
- 4) *non-dégénérescence* : Si $t_l(S, T) = 1$ pour tout $T \in E(K)[l]$ alors $S = 0$.

Chapitre 2 : Couplages

5) *action galoisienne* : pour tout $\sigma \in \text{Gal}(\bar{F}_q/F_q)$ on a $t_l(S, T)^\sigma = t_l(S^\sigma, T^\sigma)$

Preuve :

- 1) Si $P = O$ alors on peut choisir pour $f_{D(P)}$ la fonction constante 1.
- 2) On a déjà montré ce point pour montrer que le couplage est bien défini.
- 3) La bilinéarité est évidente.
- 4) non – dégénérescence : on peut consulter une preuve dans [GH94], ou encore une Preuve plus élémentaire dans [F. Heb02].

En général il n'y a pas de relation évidente entre le couplage de *Tate* et le couplage de *Weil*. Cependant si $P, Q \in E[m]$ on a $e_m(P, Q) = t_m(P, Q)/t_m(Q, P)$ à une puissance $m - i$ ème près, ce qui vient directement des définitions. Contrairement au couplage de *Weil* pour lequel $e_m(P, P)$ est toujours 1, $t_l(P, P)$ n'est pas nécessairement 1. Cependant pour $P \in E(\text{IF}_q)$, ce qui est souvent le cas dans les applications cryptographique, on a le résultat suivant :

Proposition 6 : Soit $P \in E(\text{IF}_q)[l]$, $P \neq O$, l premier. Si le degré de l'extension $k > 1$ alors $t_l(P, P)$ est trivial (c'est – à – dire sa valeur est une puissance $l - i$ ème dans $E(K)$).

preuve : On a $t_l(P, P) = g(D)$ où $\text{div}(g) = l[P] - l[O]$ et $D \sim [P] - [O]$. Comme $P \in E(\text{IF}_q)[l]$, $g \in \text{IF}_q(E)$ et $g(D) \in \text{IF}_q$. Si $k > 1$, alors l ne divise pas $q - 1$ (sinon IF_q contiendrait les l racines l -ième de l'unité). Tout élément de IF_q est une puissance $l - i$ ème dans IF_{q^k} . Donc $t_l(P, P)$ est trivial.

Corollaire 1 : Soit $P \in E(\text{IF}_q)[l]$ d'ordre exact l , $P \neq O$, l premier. Si $Q \in E(\text{IF}_q)[l]$ un point de torsion d'ordre exact l et indépendant de P , alors $t_l(P, Q)$ n'est pas trivial.

preuve : Supposons que $t_l(P, Q)$ soit trivial. Soit $R \in E(\text{IF}_{q^k})$. Il existe un point de l -torsion, disons \tilde{R} , dans le même coset que R . Alors $t_l(P, R) \equiv t_l(P, \tilde{R})$. Comme P et Q sont deux générateurs de $E[l]$, \tilde{R} s'écrit $\tilde{R} = aP + bQ$. Alors $t_l(P, \tilde{R}) = t_l(P, Q)^b$ qui est une puissance $l - i$ ème, ce qui est en contradiction avec la non-dégénérescence du couplage de *Tate*

2.3. Algorithme de Miller :

L'algorithme de Miller rend possible les applications en cryptographie, dans la mesure où, lorsque le degré de prolongement k n'est pas trop grand, il permet un calcul efficace de ceux-ci

2.3.1 Principe de l'algorithme

On rappelle que les couplages de *Tate et Weil* requièrent le calcul de la fonction $f_p \in \mathbb{F}_q$ telle que $\text{div}(f_p) = l[P] - l[O]$. Celui-ci peut se faire de façon incrémentale en utilisant la loi de groupe géométrique. Le diviseur $D = (P) + (Q) - 2(O)$ peut en effet se réécrire sous la forme $D = (P + Q) - (O) + \text{div}(h)$ avec h qui se calcule aisément en considérant les fonctions affines l et v telles que $l = 0$ est l'équation de la droite passant par P et Q et $v = 0$ est celle de la droite passant par $P + Q$ et O

$$\begin{aligned} \text{div}(l) &= (P) + (Q) + (-(P + Q)) - 3(O) \text{ et } \text{div}(v) = (P + Q) + (-(P + Q)) - 2(O) \\ \text{, donc on a } (P) + (Q) - 2(O) &= (P + Q) - (O) + \text{div}(l) - \text{div}(v) \\ &= (P + Q) - (O) + \text{div}(l/v) \end{aligned}$$

On peut ainsi trouver de proche en proche pour tout $i \in \mathbb{Z}$ des fonctions f_i telles que

$$i(P) - i(O) = ([i]P) - (O) + \text{div}(f_i) \quad (2.3)$$

et en particulier $i = 1$ on retrouve $f_p = f_1$

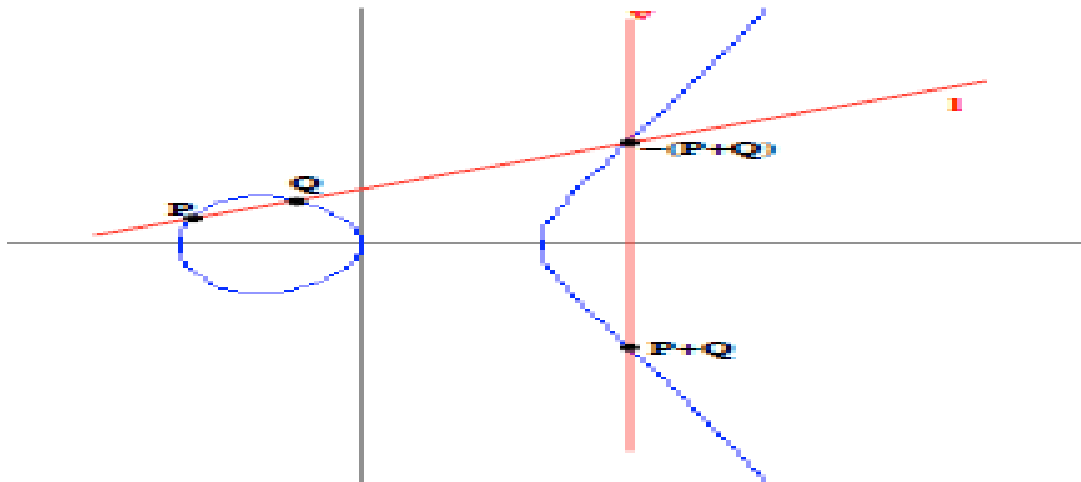


Fig 1 – Courbe elliptique d'équation réduite $y^2 = x^3 + ax + b$

De façon plus détaillée, connaissant f_i et f_j vérifiant l'équation (2.3), on construit f_{i+j} en constatant que si l et v sont des fonctions affines telles que $l = 0$ est l'équation de la droite passant par $[i]P$ et $[j]P$ et $v = 0$ est celle de la droite passant par $[i+j]P$ et O , alors

$$\begin{aligned} (i+j)(P) - (i+j)(O) &= ([i]P + [j]P) - 2(O) + \text{div}(f_i f_j) \\ &= ([i+j]P) - (O) + \text{div}\left(\frac{l}{v}\right) + \text{div}(f_i f_j) \\ &= ([i+j]P) - (O) + \text{div}\left(\frac{l f_i f_j}{v}\right) \end{aligned}$$

En particulier, $f_{i+j} = \frac{l f_i f_j}{v}$ convient.

En initialisant la suite à $f_0 = 1$ et en utilisant une chaîne d'addition pour l , comme par exemple celle utilisée dans l'algorithme double et addition, on obtient alors l'algorithme de Miller ([Mil86]) :

Chapitre 2 : Couplages

Entrée: $P \in E[l], l = (l_{k-1} \dots l_0)_2$

Sortie: f telle que $\text{Div}(f) = l(P) - l(O)$

$f \leftarrow 1$

$T \leftarrow P$

Pour $i = k - 1$ à 0 faire

$l \leftarrow$ tangente en T

$v \leftarrow$ droite passant par $2T$ et O

$f \leftarrow f^{2\frac{l}{v}}$

$T \leftarrow 2T$

Si $l_i = 1$ alors

$l \leftarrow$ droite passant par P et T

$v \leftarrow$ droite passant par $P + T$ et O

$f \leftarrow f^{\frac{l}{v}}$

$T \leftarrow T + P$

fin si

fin pour

retourne f

2.3.2 Raffinements :

Les couplages de Tate et Weil s'obtiennent en évaluant la fonction f_P sur le diviseur D_Q ,

soit en calculant le quotient $\frac{f_P(Q+S)}{f_P(S)}$ où $s \in E(f_{q^k})$ est bien choisi. On peut donc

réduire la quantité de mémoire requise par l'algorithme en évaluant à chaque étape la

fonction f en $Q + S$ et S . On peut également éviter les divisions faites à chaque étape,

en les ramenant à une seule division en fin d'algorithme concernant le choix de S , on

doit cependant prendre quelques précautions. Soit n_i le i -ème entier apparaissant dans

la chaîne d'addition de l , on note f_{n_i}, l_{n_i} et v_{n_i} , les fonctions f, l et v obtenues à la i ème

étape de l'algorithme. On a donc $(f_{n_i}) = n_i(P) - ([n_i]P) - (n_i - 1)(O)$,

Chapitre 2 : Couplages

ce qui oblige pour l'évaluation à prendre S et $Q + S$ différents de O, P et $[n_i]P$. Un autre problème peut intervenir lors de l'évaluation des fonctions l et v à chaque tour de boucle : Par exemple le diviseur de l_{n_i} peut être égal soit à $2(T) + (-[2]T) - 3(O)$, t à $(P) + (T) + (-(P + T)) - 3(O)$, en particulier $-[n_i]P$ est un zéro de l_{n_i} . Avec un raisonnement similaire pour v , on en déduit que S et $Q + S$ doivent également être différents de $-[n_i]P$.

Au total, il y a donc $o(\log_2(l))$ points à éviter pour le choix de S , ce qui lorsque l est grand, n'est pas très contraignant (par exemple si on choisit S dans le sous-groupe à l points engendré par P , la probabilité de prendre un S qui ne convient pas est de l'ordre de $c \log_2(l)/l$, donc négligeable pour l assez grand). On convient donc que S peut être pris au hasard sur $E(\mathbb{F}_{q^k})$ et même dans $E(\mathbb{F}_q)$ pour simplifier au maximum les calculs.

On peut simplifier le calcul du couplage de Weil à l'aide du résultat suivant :

Théorème 1: ([Mil04] Prop. 8).

Soient $P, Q \in E[l]$ tels que $P \neq Q$. Alors

$$e_l \langle P, Q \rangle = (-1)^l \frac{f_P(Q)}{f_Q(P)}$$

Où f_p et f_q sont les fonctions obtenues avec l'algorithme de Miller 2.3.1.

De la même façon, on simplifie le calcul du couplage de Tate avec le théorème suivant :

Théorème 2 : Soient $P \in E(\mathbb{F}_{q^k})$ et $Q \in E(\mathbb{F}_{q^k}) / l E(\mathbb{F}_{q^k})$ tel que

$Q \neq P, O$. Alors

$$\langle P, Q \rangle_l = f_P(Q)^{\frac{q^k-1}{l}}$$

où f_p est la fonction obtenue avec l'algorithme de Miller 2.3.1.

preuve : On note $\tau_Q : R \rightarrow R + Q$ la translation par le point Q . Pour tout point

$S \in E(\mathbb{F}_{q^k}^*)$ tel que $S \neq O, P, -Q, P - Q$, on a

$$e_1\langle P, Q \rangle = \left(\frac{f_P \circ \tau_Q(S)}{f_P(S)} \right)^{\frac{q^k-1}{1}}, \text{ et}$$

$$\operatorname{div} \frac{f_P \circ \tau_Q}{f_P} = \operatorname{div}(f_P \circ \tau_Q) - \operatorname{div}(f_P) = l(P - Q) - l(-Q) + l(O)$$

Soit v l'équation affine de la droite verticale passant par $P - Q$ et ℓ l'équation affine de la droite passant par P et $-Q$, alors

$$\begin{cases} \operatorname{div} v = (P + Q) + (Q - P) - 2(O) \\ \operatorname{div} \ell = (P) + (-Q) + (Q - P) - 3(O) \end{cases}$$

en particulier

$$\operatorname{div}(f_P \circ \tau_Q) = \operatorname{div} \left(\frac{v}{\ell} \right)^l$$

Par conséquent,

$$\frac{f_P \circ \tau_Q(S)}{f_P(S)} = c \left(\frac{v(S)}{\ell(S)} \right)^l \Rightarrow \langle P, Q \rangle_1 = c^{\frac{q^k-1}{1}} \quad (2.4)$$

Afin de déterminer la constante c , on considère l'écriture de $\frac{f_P \circ \tau_Q}{f_P} = c \left(\frac{v}{\ell} \right)^l$ dans l'anneau local E_0 des germes de fonctions en O . Soit $Z = \frac{x}{y}$ une uniformisante au point O , alors

- $v = x_{P-Q} = Z^{-2}(1 + zu(z)) \circ \bar{u} \in E_0$
- $\ell = y - \alpha x - \beta = Z^{-3}(1 + zv(z)) \circ \bar{v} \in E_0$
- $f_P \circ \tau_Q = f_P(Q)(1 + zt(z)) \circ \bar{t} \in E_0$
- $f_{P=Z^{-l}}(f_0 + zf_1(z)) \circ \bar{f}_0, f_1 \in E_0$

Si on construit f_P récursivement avec l'algorithme de *Miller*, à l'aide d'équations de droites de type $x - \gamma = 0$, $y - \delta x - \lambda = 0$, on a nécessairement f_P normalisée en O , c'est-à-dire $f_0 = 1$. on en déduit avec (2.4):

$$c = f_P(Q)$$

Il est donc possible de simplifier l'algorithme de *Miller* en évaluant la fonction construite en Q à chaque itération.

Remarque 3:

En pratique, on préférera utiliser le couplage de *Tate*, qui ne requiert qu'une seule évaluation de la fonction f_P en Q , plutôt que le couplage de *Weil* qui impose une évaluation de f_Q en P et une division supplémentaire

2.3.3. Implémentation et étude de la complexité :

On détaille (alg2.3.3) l'algorithme permettant de calculer $f_P(Q)$. alors de la dernière étape de l'algorithme, il faut faire attention au fait que ℓ est une droite verticale et v la droite à l'infini. Par ailleurs, à la fin de l'algorithme, on doit avoir $T = 0$, ce qui permet de vérifier que l'ordre de P est correct.

Remarque 4 : Il est clair que pour calculer $\frac{f_P(Q+S)}{f_P(S)}$, il ne faut pas appeler deux fois l'algorithme, mais l'adapter pour évaluer f_{n_i} à chaque étape en $Q + S$ et en S .

Complexité de l'algorithme de *Miller amélioré* :

Les opérations les plus coûteuses dans l'algorithme sont les divisions dans \mathbb{F}_q pour le calcul de λ et les multiplications dans \mathbb{F}_{q^k} pour le calcul de f_{n_i} à chaque étape, ainsi que la division de f_1 par f_2 dans \mathbb{F}_{q^k} à la fin de l'algorithme.

Pour les algorithmes classiques permettant de multiplier deux éléments d'un corps fini \mathbb{F}_q , la complexité est en $o((\log q)^\mu)$ où μ dépend de l'algorithme utilisé (typiquement $\mu = \log 3$ pour Karastuba). Une division dans \mathbb{F}_q est donc de complexité en $o((\log q)^{\mu+1})$. Au final, on a donc une complexité pour Miller en

$$o(\log l + (k \log q)^\mu + (\log q)^{\mu+1} + (k \log q)^{\mu+1}) = o((\log q)^{\mu+1} (\log l + k^{\mu+1}))$$

Cette complexité est polynomiale en q et l , mais exponentielle en k .

Malheureusement les courbes ayant un petit degré de plongement sont très rares [BK98], ce qui imposera de travailler avec des courbes particulières, dites courbes bien couplées (voir section 3)

2.4. Comparaison des couplages de *Tate* et de *Weil* :

Chapitre 2 : Couplages

Comme on a vu, le couplage de *Weil* prend deux fois plus de temps que le couplage de *Tate*. Un défaut du couplage de *Tate* est que sa valeur n'est pas unique. Cela peut être résolu en élevant le couplage de *Tate* à la puissance $(q^k - 1)/l$, Même avec cette exponentiation le calcul du couplage de *Tate* est encore plus rapide que celui du couplage de *Weil*. En outre, le calcul du couplage est efficace quand l'extension du corps de base, sur laquelle le couplage est défini, est petite. Or l'extension correspondant au couplage de *Weil* est plus large que celle du couplage de *Tate*. Une supériorité majeure du couplage de *Tate* sur le couplage de *Weil* est que le couplage de *Weil* n'est défini que sur les courbes elliptiques. Le couplage de *Tate*, en revanche, peut être généralisé sur les courbes de genre >1 (dans ce cas il n'est plus défini sur des points, mais sur des classes de diviseurs de degré 0). Pour ces raisons le couplage de *Tate* l'emporte sur le couplage de *Weil* dans les applications cryptographiques

2. 5. Groupe cyclique avec couplage :

2. 5. 1. Couplage parfait :

Soit G un groupe cyclique d'ordre n . Un tel groupe a une structure canonique de $\mathbb{Z} -$ module:

$\forall (k, x) \in \mathbb{N} \times G, kx = x + x + x \dots + x$ et $(-k)x = -(kx)$. On note \widehat{G} le dual de ce groupe, c'est-à-dire le groupe de $(\mathbb{Z}/n\mathbb{Z})$ formes linéaires sur G .

Un couplage est une application $(\mathbb{Z}/n\mathbb{Z})$ bilinéaire d'un couple de groupes cycliques dans un troisième groupe cyclique, tous de même ordre n . Il existe un couplage de $G \times \widehat{G}$ dans $\mathbb{Z}/n\mathbb{Z}$, appelé couplage canonique de G et défini par :

$$e_c : \begin{pmatrix} G \times \widehat{G} & \rightarrow & \mathbb{Z}/n\mathbb{Z} \\ (x, v) & \mapsto & v(x) \end{pmatrix}$$

Soient G, G' et G'' trois groupes cycliques de même ordre n . Un couplage e de $G \times G'$ dans G'' est dit parfait s'il est isomorphe (en tant que couplage) au couplage canonique de G , c'est-à-dire s'il existe trois isomorphismes de groupes

$$m : G \rightarrow G, m' : G' \rightarrow \widehat{G} \text{ et } m'' : \mathbb{Z}/n\mathbb{Z} \rightarrow G'' \text{ tels que } \forall (x, y) \in G \times G', e(x, y) = m''(e_c(m(x), m'(y)))$$

$$\begin{array}{ccc}
 e: G \times G' & \rightarrow & G'' \\
 m \downarrow \downarrow m' & & \uparrow m'' \\
 e_c: G \times \widehat{G} & \rightarrow & \mathbb{Z}/n\mathbb{Z}
 \end{array}$$

On considère un ensemble A de n éléments, et un couple $(f, h) \in F(A)^2$: on souhaite d'écrire l'ensemble des couplages parfaits de $A_f \times A_f$ dans A_h . Par définition, un tel couplage se déduit de trois isomorphismes de groupes m, m' et m''

$$\begin{array}{ccc}
 e: A_f \times A_f & \rightarrow & A_h \\
 \downarrow \quad \downarrow & & \uparrow \\
 e_c: A_f \times \widehat{A}_f & \rightarrow & \mathbb{Z}/n\mathbb{Z}
 \end{array}$$

Sans perte de généralité, on peut fixer $m = \text{id}$, $m'' = h$ et $m' = f^{-1} \circ i \circ f^{-1}$, où i est un isomorphisme quelconque de $\mathbb{Z}/n\mathbb{Z}$ dans $\widehat{\mathbb{Z}/n\mathbb{Z}}$, et où \widehat{f} est l'isomorphisme dual de f , c'est-à-dire $\widehat{f}: v \in \widehat{A}_f \rightarrow v \circ f \in \widehat{\mathbb{Z}/n\mathbb{Z}}$.

Pour tout ensemble A et tout couple $(f, h) \in F(A)^2$, la description d'un couplage parfait de $A_f \times A_f$ dans A_h est alors équivalente à la donnée d'un isomorphisme i de $\mathbb{Z}/n\mathbb{Z}$ dans $\widehat{\mathbb{Z}/n\mathbb{Z}}$.

Remarque 5 :

Le couplage parfait e , en tant qu'application bilinéaire, est défini de manière unique par la valeur de $e(f(1), f(1))$. De même l'isomorphisme i est défini de manière unique par la valeur de $i(1)$, et indirectement par la valeur de $e(f(1), f(1))$.

On en déduit que pour tout couple $(f, h) \in F(A)^2$, il existe un unique couplage parfait e tel que

$$e(f(1), f(1)) = h(1)$$

Dans la suite de ce chapitre, on limitera l'étude des groupes avec couplage au seul cas du couplage parfait vérifiant $e(f(1), f(1)) = h(1)$. Comme le couplage défini par

Chapitre 2 : Couplages

$(x, y) \in A_{f^2} \rightarrow h(f^{-1}(x), f^{-1}(y)) \in A_h$ convient, c'est l'unique couplage parfait mentionné dans la remarque précédente.

2.5.2 Famille générique des groupes cycliques avec couplage

on considère un ensemble A de n éléments, et l'ensemble $F(A)$ de toutes les bijections de $\mathbb{Z}/n\mathbb{Z}$ dans A . Pour tout sous – ensemble $S \subset F(A)$, soit $P(A, S)$ la famille de groupes cycliques avec couplage paramétrée par l'ensemble $\{(f, h) \in S^2\}$. A partir d'un couple $(f, h) \in S^2$, on construit les structures de groupes A_f et A_h . On construit de plus le couplage parfait $e_{f,h}$ de $A_f \times A_f$ dans A_h défini par :

$$e_{f,h}: \left(\begin{array}{ccc} A_f \times A_f & \rightarrow & A_h \\ (x, y) & \mapsto & h(f^{-1}(x), f^{-1}(y)) \end{array} \right)$$

Définition 3 : (Famille générique de groupes cycliques avec couplage)

Soit $B(n)$ l'ensemble des écritures binaires des entiers entre 0 et $n - 1$. La famille de groupes cycliques avec couplage $P(B(n), FB(n))$ est appelée famille générique de groupes cycliques d'ordre n avec couplage. L'union de toutes ces familles, lorsque n est un entier non nul, est appelée famille générique de groupes cycliques avec couplage. Comme expliqué précédemment, les morphismes f et h peuvent être efficacement calculés à partir des structures de groupes de $B(n)_f$ et de $B(n)_h$. A l'inverse, les applications réciproques f^{-1} et h^{-1} ne sont pas directement accessibles.

2.5.3 Famille de représentations de groupes cycliques avec couplage

Définition 4 : Soient L et M deux langages sur $\{0,1\}$ Une famille de représentations de groupes cycliques avec couplage, sur ces langages L et M , est :

- la donnée de deux familles de représentations de groupes cycliques, la première sur L et la seconde sur $M: (\Gamma, (L_\gamma)_{\gamma \in \Gamma})$ et $(\Delta, (M_\delta)_{\delta \in \Delta})$
- la donnée d'un ensemble de paramètres $\Omega \subset \Gamma \times \Delta$
- pour tout paramètre $\alpha = (\gamma, \delta) \in \Omega$, la donnée d'un couplage parfait e_α de $L_\gamma \times L_\gamma$ dans M_δ calculable en temps polynomial et tel que $e_\alpha = (g_\gamma, g_\gamma) = g_\delta$.

Lorsque Ω_1 (respectivement Ω_2) représente l'ensemble des parties gauches (respectivement droites) des éléments de l'ensemble des paramètres, cette famille est

notée :

$$\left(\Omega, (L_\gamma)_{\gamma \in \Omega_1}, (M_\delta)_{\delta \in \Omega_2}, (e_\alpha)_{\alpha \in \Omega} \right)$$

2.5.4 Problèmes bilinéaires Diffie – Hellman

On peut désormais présenter quelques problèmes bilinéaires classiques dans le formalisme établi pour les familles de représentations de groupes cycliques avec couplage :

Définition 5 : Soit $(\Omega, (L_\gamma)_{\gamma \in \Omega_1}, (M_\delta)_{\delta \in \Omega_2}, (e_\alpha)_{\alpha \in \Omega})$

une famille de représentations de groupes cycliques avec couplage sur les langages L et M . Dans cette famille,

- un algorithme résolvant le problème bilinéaire Diffie – Hellman calcule l'élément $\log_{g_\gamma}(w), e_{(\gamma, \delta)}(x, y)$ dans le groupe M_δ à partir des données $(\gamma, \delta) \in \Omega, (w, x, y) \in (L_\gamma)^3$
- un algorithme résolvant le problème bilinéaire décisionnel Diffie – Hellman décide si z est égal à $\log_{g_\gamma}(w), e_{(\gamma, \delta)}(x, y)$ dans le groupe M_δ à partir des données $(\gamma, \delta) \in \Omega, (w, x, y) \in (L_\gamma)^3, z \in M_\delta$

Comme précédemment, on peut généraliser ces définitions au cas de la famille générique de groupes cycliques avec couplage, avec les mêmes entrées et sorties, mais avec seulement un accès à des oracles pour le calcul des différentes lois et du couplage

Chapitre 3: Construction des courbes elliptiques bien couplées

3. Construction des courbes elliptiques bien couplées :

Soit E une courbe elliptique définie sur \mathbb{F}_q ($q = p^d$), r un entier premier différent de p divisant $\#E(\mathbb{F}_q)$ et k le degré de plongement associé. On note $G_1 = \langle P \rangle$ où $P \in E(\mathbb{F}_q)[r]$, $G_2 = \langle Q \rangle$ où $Q \in E(\mathbb{F}_{q^k})[r]$ et $G_3 = \mu_r \subset \mathbb{F}_{q^k}^*$.

on verra dans la section 4.2, si $e: G_1 \times G_2 \rightarrow G_3$ est un couplage, les groupes G_1 , G_2 et G_3 doivent vérifier des hypothèses de sécurité, imposant certaines conditions sur les paramètres q , r et k . le degré de plongement k ne doit également pas être trop grand en pratique, pour que les temps de calculs restent raisonnables.

Lorsqu'on peut trouver une courbe E pour laquelle tous ces critères sont vérifiés, on dit que la courbe est adaptée ou pairing – friendly.

3.1 Utilisation du couplage de Tate :

on rappelle que le couplage de Tate est non dégénéré sur

$$\begin{aligned} E(\mathbb{F}_{q^k})[r] \times E(\mathbb{F}_{q^k})/rE(\mathbb{F}_{q^k}) &\rightarrow \mu_r \subset \mathbb{F}_{q^k}^* \\ (P, Q) &\mapsto \langle P, Q \rangle \end{aligned}$$

en particulier si $P \in E(\mathbb{F}_q)[r]$ on peut toujours trouver $Q \in E(\mathbb{F}_{q^k})/rE(\mathbb{F}_{q^k})$ tel que $\langle P, Q \rangle \neq 1$

Si l'on souhaite utiliser ce couplage dans le contexte cryptographique présentera en section 4, il est pertinent de déterminer à quelle condition on a un isomorphisme entre les groupes $E(\mathbb{F}_{q^k})[r]$ et $E(\mathbb{F}_{q^k})/rE(\mathbb{F}_{q^k})$.

la suite exacte

$$0 \rightarrow E(\mathbb{F}_{q^k})[r] \rightarrow E(\mathbb{F}_{q^k}) \rightarrow rE(\mathbb{F}_{q^k}) \rightarrow 0$$

Permet déjà de dire que

$$rE(\mathbb{F}_{q^k}) \simeq E(\mathbb{F}_{q^k})/rE(\mathbb{F}_{q^k})[r],$$

avec en particulier $\# E(\mathbb{F}_{q^k})[r] = \# (E(\mathbb{F}_{q^k})/rE(\mathbb{F}_{q^k}))$

Il suffit donc de voir à quelle condition le morphisme naturel de groupes

$\varphi: E(\mathbb{F}_{q^k})[r] \rightarrow E(\mathbb{F}_{q^k})/rE(\mathbb{F}_{q^k})$ est injectif. Si $R \in \ker(\varphi)$ alors il existe $S \in E(\mathbb{F}_{q^k})$

Chapitre 3: Construction des courbes elliptiques bien couplées

tel que $R = [r]S$, en particulier $S \in E(\mathbb{F}_{q^k})[r^2]$.

montrer que φ est injectif revient à montrer que les points rationnels de r^2 – torsion sont nécessairement des points rationnels de r – torsion. on a donc l'équivalence:

$$E(\mathbb{F}_{q^k})[r] \simeq E(\mathbb{F}_{q^k})/rE(\mathbb{F}_{q^k}) \Leftrightarrow E(\mathbb{F}_{q^k})[r^2] = E(\mathbb{F}_{q^k})[r]$$

Pour pouvoir utiliser le couplage de Tate pour les applications cryptographiques, on devra donc s'assurer que l'on est bien sous l'hypothèse suivante :

$$E(\mathbb{F}_{q^k})[r^2] = E(\mathbb{F}_{q^k})[r] \tag{1.3}$$

Remarque1 :

Dans le cas où cette hypothèse ne serait pas vérifiée, on peut toujours utiliser le couplage de Weil, qui a l'avantage de toujours être non dégénéré sur $E[r] \times E[r]$, mais au prix d'une Perte d'efficacité dans les temps de calculs (cf remarque de la section 2.3.2).

La proposition suivante donne un critère simple pour déterminer quand le couplage de Tate peut être utilisé :

Proposition 1 : Si $r^2 \nmid \#E(\mathbb{F}_{q^k})$ (c'est – à – dire $r^2 \nmid \#E(\mathbb{F}_{q^k})$ et $r^3 \nmid \#E(\mathbb{F}_{q^k})$ et $k > 1$, alors (l'hypothèse (1.3) est vérifiée). En particulier, le couplage de Tate est non dégénéré sur $E[r] \times E[r]$

Preuve : D'après une proposition de (Balasubramanian et Koblitz) on a :
comme $r^3 \nmid \#E(\mathbb{F}_{q^k})$, on a nécessairement $E(\mathbb{F}_{q^k})[r^2] \simeq \mathbb{Z}/r\mathbb{Z} \times \mathbb{Z}/r\mathbb{Z}$ donc
 $E(\mathbb{F}_{q^k})[r^2] = E(\mathbb{F}_{q^k})[r]$.

On détermine dans la suite sur quel groupe G_1 il est possible de prendre Tate comme self –pairing.

Lorsque $k > 1$, on ne pourra pas l'utiliser tel quel sur $E(\mathbb{F}_{q^k})[r]$:

Proposition 2 : Soient E une courbe elliptique définie sur \mathbb{F}_q , G_1 un sous – groupe de $E(\mathbb{F}_q)$ engendré par un point $P \in E(\mathbb{F}_q)[r]$ de r – torsion (r premier et $r \neq p$) et k le degré de plongement associé. On suppose $k > 1$.

Si $R \in E(\mathbb{F}_{q^d})$ où d/k et $d < k$, alors $\langle P, R \rangle_r = 1$.

Chapitre 3: Construction des courbes elliptiques bien couplées

En particulier, $\langle P, P \rangle_r = 1$ et le couplage de Tate restreint à $E(\mathbb{F}_q)[r] \times E(\mathbb{F}_q)[r]$ est dégénéré.

Preuve : f_p étant une fonction définie sur \mathbb{F}_q et D_R étant un diviseur défini sur \mathbb{F}_{q^d} , $f_p(D_R)$ est un élément de $\mathbb{F}_{q^d}^*$ qui est nécessairement trivial dans le quotient $\mathbb{F}_{q^k}^* / (\mathbb{F}_{q^k}^*)^r$.

En effet, comme r est premier et $d < k$, $\mathbb{F}_{q^d}^*$ ne contient aucune racine primitive r -ième de l'unité. Le morphisme de groupes $\pi: x \in \mathbb{F}_{q^d}^* \mapsto x^r \in \mathbb{F}_{q^d}^*$ est donc injectif, en particulier tout élément de $\mathbb{F}_{q^d}^*$ est une puissance r -ième d'un élément de $\mathbb{F}_{q^d}^*$.

Ainsi en prenant $d = 1$, on a que $\langle P, P \rangle_r = 1$ et par bilinéarité le couplage de Tate est dégénéré sur $G_1 = \langle P \rangle$. Par ailleurs, avec le lemme suivant :

lemme1: soit $d \geq 1$ un entier quelconque, alors:

$$E(l) \subset E(\mathbb{F}_{q^d}) \implies \mu_l \subset \mathbb{F}_{q^d}^*$$

preuve du lemme1: le couplage de Weil étant non dégénéré, il existe deux points de l -torsion $P, Q \in \text{div}_{\mathbb{F}_{q^d}}^\circ(E)$ et $f_P, f_Q \in \mathbb{F}_{q^d}^*(E)$, on a alors $e_l(P, Q) \in \mathbb{F}_{q^d}^*$ comme l est premier $e_l(P, Q)$ est une racine primitive qui engendre μ_l , en particulier $\mu_l \subset \mathbb{F}_{q^d}^*$ □

comme $k > 1$, $E(\mathbb{F}_q)$ ne peut contenir toute la r -torsion $E[r]$. Autrement dit $E(\mathbb{F}_q) \simeq \mathbb{Z}/r\mathbb{Z}$ en particulier $G_1 = E(\mathbb{F}_q)[r]$ et le couplage est dégénéré sur les points rationnels de r -torsion.

Dans le cas où le degré de plongement vaut 1, la non dégénérescence de Tate vu comme self-pairing sur $G_1 = E(\mathbb{F}_q)[r]$ n'est pas toujours assurée, sauf dans le cas suivant (on distinguera dans la preuve tous les autres cas de figure possibles) :

Proposition 3 : Soient E une courbe elliptique définie sur \mathbb{F}_q , G_1 un sous-groupe de $E(\mathbb{F}_q)$ engendré par un point $P \in E(\mathbb{F}_q)[r]$ de r -torsion (r premier et $r \neq p$). On suppose que le degré de plongement associé k vaut 1.

Si $r^2 \nmid \# E(\mathbb{F}_q)$, alors l'hypothèse (1.3) est vérifiée et $\langle P, P \rangle \neq 1$. En particulier le couplage de Tate vu comme self-pairing sur $E(\mathbb{F}_q)[r]$ est non dégénéré.

Chapitre 3: Construction des courbes elliptiques bien couplées

Preuve : On cherche à déterminer dans quels cas on a $E(\mathbb{F}_q)[r^2] = E(\mathbb{F}_q)[r]$

$E(\mathbb{F}_q)[r^2]$ étant à la fois un sous-groupe de $E(\mathbb{F}_q)$ et de $E[r^2] \simeq \mathbb{Z}/r^2\mathbb{Z} \times \mathbb{Z}/r^2\mathbb{Z}$, nécessairement

$$\#E(\mathbb{F}_q)[r^2] / \text{pgcd}(\#E(\mathbb{F}_q), r^4)$$

On détaille ici tous les cas de figure possibles :

- **Cas 1** : $r^2 \nmid \#E(\mathbb{F}_q)$, c'est à dire. $\#E(\mathbb{F}_q)[r^2] = r$

Comme $E(\mathbb{F}_q)[r]$ est un sous-groupe d'ordre au moins r de $E(\mathbb{F}_q)[r^2]$, $E(\mathbb{F}_q)[r^2] = E(\mathbb{F}_q)[r] \simeq \mathbb{Z}/r\mathbb{Z}$. Le couplage de Tate est alors non dégénéré sur $E(\mathbb{F}_q)[r] \times E(\mathbb{F}_q)[r]$. Le sous-groupe $E(\mathbb{F}_q)[r]$ étant cyclique, on en déduit que le couplage de Tate est non dégénéré sur $G_1 \times G_1$.

- **Cas 2** : $r^2 \nmid \#E(\mathbb{F}_q)$ et $r^3 \nmid \#E(\mathbb{F}_q)$, c'est à dire. $\#E(\mathbb{F}_q)[r^2] \nmid r^2$

On distingue à nouveau plusieurs cas suivant la structure de $E(\mathbb{F}_q)[r]$ et de $E(\mathbb{F}_q)[r^2]$ vus comme sous-groupes de $E(\mathbb{F}_q) \simeq \mathbb{Z}/n_1\mathbb{Z} \times \mathbb{Z}/n_2\mathbb{Z}$ (où $n_1 \mid n_2$) :

– si $r^2 \mid n_2$, alors $E(\mathbb{F}_q)$ admet un sous-groupe isomorphe à $\mathbb{Z}/r^2\mathbb{Z}$ de points de r^2 -torsion. Par conséquent $E(\mathbb{F}_q)[r^2] \simeq \mathbb{Z}/r^2\mathbb{Z}$,

qui admet un unique sous-groupe d'ordre r , ce qui impose $E(\mathbb{F}_q)[r] \simeq rE(\mathbb{F}_q)[r^2]$.

En particulier le couplage de Tate est dégénéré sur $G_1 \times G_1$.

– si $r \mid n_1$, alors $E(\mathbb{F}_q)$ admet un sous-groupe isomorphe à $\mathbb{Z}/r\mathbb{Z} \times \mathbb{Z}/r\mathbb{Z}$ de points de r -torsion. Par conséquent $E(\mathbb{F}_q) \simeq \mathbb{Z}/r\mathbb{Z} \times \mathbb{Z}/r\mathbb{Z} = E[r]$ et comme $E(\mathbb{F}_q)[r^2]$ admet au plus r^2 éléments, $E(\mathbb{F}_q)[r] = E(\mathbb{F}_q)[r^2]$. Dans ce cas le couplage de Tate est non dégénéré sur $E(\mathbb{F}_q)[r] \times E(\mathbb{F}_q)[r]$ en particulier il existe un point rationnel Q de r -torsion tel que $\langle P, Q \rangle \neq 1$. Il est à noter cependant, que comme $E(\mathbb{F}_q)$ n'est pas cyclique, Q n'est pas nécessairement dans le groupe engendré par P , et que donc on ne peut conclure quant à la non-dégénérescence du couplage sur G_1 .

- **Cas 3** : $r^3 \mid \#E(\mathbb{F}_q)$ et $r^4 \nmid \#E(\mathbb{F}_q)$, c'est à dire. $\#E(\mathbb{F}_q)[r^2] \mid r^3$

Ce cas se traite de façon similaire au cas 2, en distinguant deux sous-cas :

– si $r \mid n_1$ et $r^2 \mid n_2$, alors $E(\mathbb{F}_q)$ admet un sous-groupe isomorphe à $\mathbb{Z}/r\mathbb{Z} \times \mathbb{Z}/r^2\mathbb{Z}$ de points de r^2 -torsion.

En particulier $E(\mathbb{F}_q)[r^2] \simeq \mathbb{Z}/r\mathbb{Z} \times \mathbb{Z}/r^2\mathbb{Z}$ et donc le sous-groupe des points rationnels de

Chapitre 3: Construction des courbes elliptiques bien couplées

r -torsion est $E(\mathbb{F}_q) \simeq \mathbb{Z}/r\mathbb{Z} \times \mathbb{Z}/r\mathbb{Z} = E[r]$.

Le couplage de Tate est alors dégénéré sur G_1 .

– si r^3/n_2 alors $E(\mathbb{F}_q)[r^2] \simeq \mathbb{Z}/r^2\mathbb{Z}$ et ce qui ramène au cas 2a.

- **Cas 4** : $r^4 / \#E(\mathbb{F}_q)$, c'est – à – dire. $\#E(\mathbb{F}_q)[r^2] / r^4$

On distingue trois sous-cas :

– soit $r \nmid n_1$ et r^4 / n_2 , alors on est ramené au cas 2a

– soit $r|n_1$ et r^3 / n_2 , alors on est ramené au cas 3a.

– soit r^2/n_1 et r^2/n_2 , alors $E(\mathbb{F}_q)[r^2] \simeq \mathbb{Z}/r^2\mathbb{Z} \times \mathbb{Z}/r^2\mathbb{Z}$, ce qui implique

$E(\mathbb{F}_q)[r] = rE(\mathbb{F}_q)[r^2]$, en particulier le couplage de Tate est dégénéré sur $G_1 \times G_1$.

les courbes qui vérifient les hypothèses de la proposition 3 disposent d'un Self

– pairing particulièrement simple, et donc intéressantes d'un point de vue cryptographique.

Malheureusement ces courbes sont assez difficiles à obtenir (voir exemple en fin de section 3.3)

Dans la suite, on supposera toujours que l'hypothèse (1.3) est vérifiée.

3.2 Courbes supersingulière et applications de distorsion :

le degré de plongement associé au point de r -torsion d'une courbe supersingulière E est toujours petit, en particulier les courbes supersingulière sont de bon candidats pour les courbes bien couplées (pairing friendly).

De façon plus précise, on a le résultat suivant, dû à *Menezes, Okamoto et Vanstone*, dont on donne une ébauche de preuve lorsque $p > 3$:

Proposition 4 : ([CFA 06] p. 124).

Soit E une courbe elliptique supersingulière définie sur \mathbb{F}_q ($q = p^d$), admettant un point d'ordre r premier différent de p . Le degré de plongement k associé à r vérifie :

– si $p = 2$, alors $k \leq 4$

– si $p = 3$, alors $k \leq 6$

– si $p \geq 5$, alors $k \leq 3$; si de plus $d = 1$, alors $k \leq 2$

et ces bornes sont toujours atteintes.

Preuve : pour simplifier, on prendra $p > 3$ et $j(E) \in \mathbb{F}_p$ (on sait que on a toujours $j(E) \in \mathbb{F}_{p^2}$). on va montrer qu'alors nécessairement $K = 1$ ou $K = 2$

Etant donnée $j(E) \in \mathbb{F}_p$, il est possible de trouver une courbe E_0 définie sur \mathbb{F}_p telle que

Chapitre 3: Construction des courbes elliptiques bien couplées

$j(E_0) = j(E)$ ([Sil86] p. 50). par conséquent, E et E_0 sont \mathbb{F}_{q^2} - isomorphes via un changement de coordonnées de Weierstrass

En particulier, les q^2 - ième Frobenius définis sur E et E_0 ont même polynôme caractéristique. Comme est définie sur \mathbb{F}_p , on peut également calculer le q^2 -ième Frobenius en fonction du p - ième Frobenius : $\Phi_p^2 = \Phi_p^{2d}$. On considère alors les Polynômes caractéristiques $\chi_{\Phi_p}(X) = (X - \alpha)(X - \beta)$ de Φ_p et $\chi_{\Phi_q^2}(X) = (X - \alpha^{2d})(X - \beta^{2d})$ de Φ_q^2 définis sur E_0 .

E étant supersingulière, le polynôme caractéristique de Φ_p défini sur E est de la forme $\chi_{\Phi_p}(X) = (X - a)(X - b)$ avec $\text{tr}(\Phi_p) = a + b = 0 \pmod p$ et $ab = p^d$, en particulier $\text{tr}(\Phi_{q^2}) = a^2 + b^2 = 0 \pmod p$. De $\alpha^{2d} + \beta^{2d} = a^2 + b^2 = 0 \pmod p$ et $\alpha\beta = p = 0 \pmod p$, on déduit $\text{tr}(\Phi_p) = \alpha + \beta = 0 \pmod p$. Avec la borne de Hasse, on a $|\text{tr}(\Phi_p)| \leq 2\sqrt{p}$ où $p > 3$, donc $\text{tr}(\Phi_p) = 0$. Ainsi, $\alpha = -\beta = \pm i\sqrt{p}$ et $\#E(\mathbb{F}_{q^2}) = \chi_{\Phi_q^2}(1) = (1 - (-1)^d p^d)^2 = (1 - (-1)^d q)^2$

donc $[r \text{ premier et } r / \#E(\mathbb{F}_{q^2})] \Rightarrow r / (1 - (-1)^d q) \Rightarrow k = 1 \text{ ou } 2$ suivant la parité de d son a la classification des courbes supersingulière en fonction du degré de plongement

Théorème 1 : ([Wat69], [SX95]).

Soit E une courbe supersingulière définie sur \mathbb{F}_q de trace t . Alors on est dans l'un des 5 cas suivants:

- ✓ soit $q = p^{2b}$ et $t = \pm 2\sqrt{q}$, alors le degré de plongement k vaut 1,
- ✓ soit $q = p^a$ avec (a impair) ou ($p \not\equiv 1 \pmod 4$ et a pair) et $t = 0$, alors $k = 2$
- ✓ soit $q = p^{2b}$ avec $p \not\equiv 1 \pmod 3$ et $t = \pm 2\sqrt{q}$, alors $k = 3$,
- ✓ soit $q = 2^{2b+1}$ et $t = \pm\sqrt{2q}$, alors $k = 4$
- ✓ soit $q = 3^{2b+1}$ et $t = \pm\sqrt{3q}$, alors $k = 6$

Les courbes supersingulière ont donc l'avantage d'avoir un petit degré de plongement associé, ce qui rend possible le calcul de couplage. On montre dans ce qui suit qu'elles ont également l'avantage d'être naturellement munies de self - pairing.

Les couplages de Tate et de Weil utilisés tels quels n'étant pas de bons candidats pour les self - pairings (étant généralement dégénérés sur $E(\mathbb{F}_q)[r] \times E(\mathbb{F}_q)[r]$) on utilisera la technique due à Verheul [Ver04] qui consiste à introduire des endomorphismes particuliers appelés applications de distorsion :

Chapitre 3: Construction des courbes elliptiques bien couplées

Définition 1 : (Applications de distorsion):

Soit $P \in E[r]$ un point de r – torsion. Une application de distorsion relativement au groupe $\langle P \rangle$, est un endomorphisme $\varphi \in \text{End}(E)$ tel que pour tout $Q \in \langle P \rangle \setminus \{O\}$, $\varphi(Q) \notin \langle P \rangle$.

Si l'on peut trouver un tel endomorphisme sur E , alors il est facile de définir un self – pairing e sur $E(\mathbb{F}_q)[r] \times E(\mathbb{F}_q)[r]$ à partir du couplage de Weil ou de Tate :

Proposition 5: On note indifféremment e le couplage de Weil ou de Tate. Si $\varphi \in \text{End}(E)$ est une application de distorsion, alors pour $k > 1$:

$$E(\mathbb{F}_q)[r] \times E(\mathbb{F}_q)[r] \rightarrow \mu_r \subset \mathbb{F}_{q^k}^*$$

$$(P, Q) \mapsto \hat{e}(P, Q) = e(P, \varphi(Q))$$

est un self – pairing.

Preuve : Soit $P \in E(\mathbb{F}_q)$ un point d'ordre premier r . Comme φ est un endomorphisme de E , $([r] \circ \varphi)(P) = \varphi([r]P) = 0$, en particulier $\varphi(P) \neq 0$ est d'ordre r dans $E(\mathbb{F}_{q^k})$.

On a donc trouvé une base $\{P, \varphi(P)\}$ de $E[r] = E(\mathbb{F}_{q^k})[r]$, et comme $e(P, P) = 1$ (prop. 3), par non – dégénérescence de Tate – Weil on a bien $\hat{e}(P, P) \neq 1$.

On montre que cette construction n'est en fait possible que sur les courbes supersingulières:

Théorème 2: Soit E une courbe elliptique et $P \in E(\mathbb{F}_q)[r]$ un point de r – torsion. On suppose le degré de plongement $k > 1$.

S'il existe une application de distorsion φ relativement au groupe $\langle P \rangle$, alors E est supersingulière.

Preuve : D'après le lemme précédent, $\langle P \rangle = E(\mathbb{F}_q)[r]$. Par conséquent $\varphi(P) \in E(\mathbb{F}_{q^k})[r] \setminus E(\mathbb{F}_q)$, donc on a $\Phi_q(\varphi(P)) \neq \varphi(P) = \varphi(\Phi_q(P))$. $\text{End}(E)$ est alors non commutatif, et la courbe est supersingulière

Théorème 3: (Existence d'applications de distorsion [Ver04]).

On note ψ l'application naturelle qui à un endomorphisme $\varphi \in \text{End}(E)$ associe sa restriction $\varphi_r \in \text{End}(E[r]) \simeq \mathcal{M}_2(\mathbb{Z}/r\mathbb{Z})$ définie sur l'ensemble des points de r – torsion. Si E est une courbe supersingulière, alors ψ est surjective. En particulier, il existe toujours une application de distorsion sur une courbe supersingulière "

Preuve: On montre que $\ker(\psi) = [r]\text{End}(E)$: soit $f \in \ker(\psi)$, alors $E[r] \subset \ker(f)$, c'est-à-dire $\ker([r]) \subset \ker(f)$. Comme $[r]$ est séparable, le théorème de factorisation des isogénies

Chapitre 3: Construction des courbes elliptiques bien couplées

(voir [Sil86] cor. III.4.11) assure l'existence de $g \in \text{End}(E)$ tel que $f = [r] \circ g$.

On rappelle également que si E est supersingulière, alors $\text{End}(E)$ est un \mathbb{Z} -module de rang 4, par conséquent on a :

$$\text{Im } \psi \simeq \text{End}(E)/([r]\text{End}(E)) \simeq (\mathbb{Z}/r\mathbb{Z})^4$$

et donc ψ est surjective.

Voici quelques exemples classiques de courbes supersingulière pour lesquelles on connaît des applications de distorsion.

Exemple : ([Gal05]).

- $k = 2$:

$$E : y^2 = x^3 + a, \text{ courbe définie sur } \mathbb{F}_p \text{ où } p \equiv 2 \pmod{3}$$

cardinalité: $\#E(\mathbb{F}_p) = p + 1$

application de distorsion : $(x, y) \mapsto (\zeta x, y), \zeta \text{ tel que } \zeta^3 = 1$

- $k = 2$:

$$E : y^2 = x^3 + x, \text{ courbe définie sur } \mathbb{F}_p \text{ où } p \equiv 3 \pmod{4}$$

cardinalité : $\#E(\mathbb{F}_p) = p + 1$

application de distorsion : $(x, y) \mapsto (-x, iy), i^2 = -1$

- $k = 3$:

$E : y^2 = x^3 + a$, courbe définie sur \mathbb{F}_{p^2} où $p \equiv 5 \pmod{6}$

et $a \in \mathbb{F}_{p^2} \setminus \mathbb{F}_p$ est un carré, mais pas un cube

cardinalité : $\#E(\mathbb{F}_{p^2}) = p^2 - p + 1$ application de distorsion :

$$(x, y) \mapsto \left(\frac{x^p}{\gamma a^{(p-2)/3}}, \frac{y^p}{a^{(p-1)/2}} \right), \quad \gamma \in \mathbb{F}_{p^6} \text{ tel que } \gamma^3 = a$$

- $k = 4$:

$$E : y^2 + y = x^3 + x + a, \text{ courbe définie sur } \mathbb{F}_2$$

cardinalité : $\#E(\mathbb{F}_{2^{2b+1}}) = 2^{2b+1} \pm 2^{b+1} + 1$

application de distorsion : $(x, y) \mapsto (u^2x + s^2, y + u^2sx + s), u \in \mathbb{F}_{2^2}$ et $s \in \mathbb{F}_{2^4}$
tels que $u^2 + u + 1 = 0$ et $s^2 + (u + 1)s + 1 = 0$

Chapitre 3: Construction des courbes elliptiques bien couplées

- $k = 6$:

$$E : y^2 = x^3 - x \pm 1, \text{ courbe définie sur } \mathbb{F}_3$$

$$\text{cardinalité : } \#E(\mathbb{F}_{3^{2b+1}}) = 3^{2b+1} \pm 3^{b+1} + 1$$

$$\text{application de distorsion : } (x, y) \mapsto (\alpha - x, iy), i \in \mathbb{F}_{3^2} \text{ et } \alpha \in \mathbb{F}_{3^3} \text{ tels que } i^2 = -1 \text{ et } \alpha^3 - \alpha \mp 1 = 0$$

On renvoie à [GR04] pour plus de détails sur la construction d'applications de distorsion. A titre d'application, on démontre avec les applications de distorsion, l'antisymétrie du couplage de Tate sur les courbes supersingulières. ceci justifie que Tate n'est pas un bon candidat pour la construction de self – pairing sur ces courbes, puisqu'il n'existe pas de sous – groupe cyclique de $E[r]$ sur lequel Tate ne soit pas dégénéré.

Proposition 6 : (Antisymétrie du couplage de Tate sur les courbes supersingulières).
Soit E supersingulière définie sur \mathbb{F}_q , $r \mid \#E(\mathbb{F}_q)$ et $k > 1$ le degré de plongement correspondant. Alors pour tous points $P, Q \in E(\mathbb{F}_{q^k})[r]$, $\langle P, Q \rangle = \langle Q, P \rangle^{-1}$

Preuve : On sait que

$$E(\mathbb{F}_{q^k})[r] \simeq \mathbb{Z}/r\mathbb{Z} \times \mathbb{Z}/r\mathbb{Z},$$

on étudie alors les valeurs propres et vecteurs propres de l'endomorphisme de Frobenius agissant sur cet espace vectoriel :

Lemme 2 : (Couplage de Tate et valeurs propres du Frobenius).
Soient $\lambda \in \mathbb{Z}/r\mathbb{Z}$ une valeur propre de l'endomorphisme de Frobenius vu comme application $\mathbb{Z}/r\mathbb{Z}$ – linéaire de $E[r]$ et $P \in E[r]$ un vecteur propre associé à λ . Alors

$$\langle P, P \rangle = 1.$$

Preuve : On a d'une part

$$\langle \varphi(P), \varphi(P) \rangle = \langle P, P \rangle^{\lambda^2}$$

et d'autre part

$$\langle \varphi(P), \varphi(P) \rangle = \langle \hat{\varphi} \circ \varphi(P), P \rangle = \langle P, P \rangle^q$$

Ainsi si $\langle P, P \rangle \neq 1$, alors $r \mid (\lambda^2 - q)$. Mais ceci est impossible, étant donné que les racines modulo r du polynôme caractéristique du Frobenius

$$\chi(\varphi)(X) = X^2 - \text{Tr}(\varphi)X + q$$

sont 1 et q , et que l'on a supposé $r \nmid q$ et $k > 1$.

Chapitre 3: Construction des courbes elliptiques bien couplées

Soit P et Q deux points engendrant la r – torsion, on choisira P rationnel et $Q \in E(\mathbb{F}_{q^k})[r]$ vecteur propre de l'endomorphisme de *Frobenius*, associé à la Valeur propre q .

En particulier $\langle P, P \rangle = \langle Q, Q \rangle = 1$. Comme E est supersingulière, il existe (ver04)p289. une application de distorsion $\varphi \in \text{End}(E)$ telle que la matrice de φ soit de la forme :

$$\text{Mat}_\varphi = \begin{pmatrix} a & b \\ c & d \end{pmatrix} \text{ avec } c, b \neq 0 \pmod r$$

On a alors d'une part

$$\langle \varphi(P), \varphi(Q) \rangle = \langle \widehat{\varphi} \circ \varphi(P), Q \rangle = \langle P, Q \rangle^{\deg \varphi}$$

et d'autre part

$$\langle \varphi(P), \varphi(Q) \rangle = \langle P, P \rangle^{ab} \langle P, Q \rangle^{ad} \langle Q, P \rangle^{bc} \langle Q, Q \rangle^{cd} = \langle P, Q \rangle^{ad} \langle Q, P \rangle^{bc}$$

Donc

$$\langle P, Q \rangle^{\deg \varphi - ad} = \langle Q, P \rangle^{bc}$$

Comme $\deg \varphi = \det \varphi \pmod r$, on en déduit que

$$(\langle P, Q \rangle \langle Q, P \rangle)^{bc} = 1$$

Si $\langle P, Q \rangle, \langle Q, P \rangle \in \mu_r$ est non trivial, il est d'ordre r , en particulier $bc \equiv 0 \pmod r$ ce qui est exclus.

Finalement, $(\langle P, Q \rangle \langle Q, P \rangle) = 1$ et le couplage de Tate est antisymétrique.

Pour obtenir un degré de plongement supérieur à 6, il est nécessaire de travailler avec des courbes ordinaires munies de couplages asymétriques. Malheureusement, comme ces courbe sont en général un degré de plongement bien trop gros (de l'ordre de q), une recherche de courbe aléatoire ne fournira pas de courbes pairing – friendly. On peut cependant construire grâce à la méthode de multiplication complexe (CM) plusieurs familles de courbes ordinaires (courbes MNT, de *Brezing – Weng*, de *Freeman* ...) avec un degré de plongement prescrit.

On présente dans ce qui suit les éléments clefs de la méthode CM, ainsi que la construction de courbes MNT pour un degré de plongement $k = 6$.

Chapitre 3: Construction des courbes elliptiques bien couplées

3.3 Construction de courbes par la méthode CM :

Atkin et Morain dans [AM93] adaptent au cas des corps finis la méthode de multiplication complexe (CM) utilisée pour les courbes elliptiques définies sur \mathbb{C} .

Etant données q un nombre premier et un entier t dans la borne de *Hasse*, cette méthode permet de trouver une courbe E définie sur \mathbb{F}_q ayant $q + 1 - t$ points.

L'idée est de retrouver à partir du polynôme caractéristique de l'endomorphisme de *Frobenius* sur $E(\mathbb{F}_q)$

$$X^2 - tX + q = 0 \quad (3.5)$$

des informations sur l'anneau $\text{End}(E)$ des endomorphisme de la courbe. on considère le discriminant de l'équation (3.5) que l'on écrit sous la forme

$$4q - t^2 = Dy^2 \quad (3.6)$$

où $-D$ est un entier appelé discriminant fondamental tel que $-D \neq 1$ et

- ✓ soit $D \equiv 3 \pmod{4}$ et sans facteurs carrés,
- ✓ soit $D = 4m$ avec $m \equiv 1 \text{ ou } 2 \pmod{4}$ sans facteurs carrés.

La méthode d'*Atkin et Morain* consiste à construire E telle que $\text{End}(E)$ soit l'anneau des entiers de $\mathbb{Q}(\sqrt{-D})$. On introduit à cette effet le polynôme de classe de *Hilbert* $H_D(X) \in \mathbb{Z}[X]$ dont les racines dans \mathbb{F}_q sont toutes des j -invariants de courbes ayant l'anneau d'endomorphisme souhaité. L'algorithme qui permet de calculer ce polynôme consiste à reconstruire les coefficients de H_D à partir de ses complexes, que l'on obtient via des formules à base de séries convergentes ([Coh93] p. 415).

Pour retrouver la courbe à partir de son invariant modulaire, on utilise le résultat suivant :

Proposition 7 : ([BSS00] Lem. VIII. 3.).

Tout élément de \mathbb{F}_q est le j -invariant d'une courbe elliptique définie sur \mathbb{F}_q
En particulier, si $j \neq 0, 1728$, alors on peut prendre la courbe d'équation

$$y^2 = x^3 + 3kcx + 2kc^3$$

Chapitre 3: Construction des courbes elliptiques bien couplées

où $k = \frac{j}{1728 - j}$ et $c \in \mathbb{F}_q$ quelconque

Si E et \tilde{E} ont le même invariant modulaire $j \neq 0, 1728$, alors soit \tilde{E} est isomorphe à E sur \mathbb{F}_q , soit \tilde{E} est une tordue quadratique de E et sa trace est opposé de celle de E .

le problème est que cette méthode ne peut fonctionner que pour D relativement petit. La taille des coefficients et le degré de ce polynôme sont en effet en $O(\sqrt{D})$, ce qui nécessite de prendre en pratique $D < 2^{25}$, et un choix adapté pour les valeurs de q et t .

Exemple: On cherche une courbe sur \mathbb{F}_{17} de trace $t = 3$ et donc ayant $q + 1 - t = 15$ points rationnels. Alors $4q - t^2 = 59 = D$ et

$$H_{-59}(X) = X^3 + 30197678080X^2 - 140811576541184X + 374643194001883136$$

Les racines dans \mathbb{F}_{17} de $H_{-59}(X) \equiv X^3 - 5X^2 - 5X + 5 \pmod{17}$ sont 2, 7 et 13.

Pour $j = 2$, on trouve la courbe d'équation $y^2 = x^3 + 12x + 8$ qui est de cardinalité
 $15 = q + 1 - t$.

Pour $j = 7$, on trouve la courbe d'équation $y^2 = x^3 + x + 12$ qui est de cardinalité
 $15 = q + 1 - t$.

Pour $j = 13$, on trouve la courbe d'équation $y^2 = x^3 + 6x + 4$ qui est de cardinalité
 $15 = q + 1 - t$.

3.4 Un exemple de courbes ordinaires : les courbes MNT

La stratégie de *Miyaji, Nakabayashi* et *Takano* [MNT01] consiste à paramétrer Quadratiquement q et t , en s'inspirant du résultat suivant :

Théorème 4 : Soit E une courbe elliptique ordinaire définie sur \mathbb{F}_q dont le nombre de points rationnels $q + 1 - t$ est premier et de degré de plongement $k = 6$. Alors il existe un entier l tel que

$$q = 4l^2 + 1 \text{ et } t = 1 \pm 2l$$

En réinjectant ce paramétrage dans (3.6), on trouve:

$$\begin{aligned} 4(4l^2 + 1) - (1 \pm 2l)^2 &= Dy^2 \Leftrightarrow 12l^2 \mp 4l + 3 = Dy^2 \\ &\Leftrightarrow (6l \mp 1)^2 + 8 = 3Dy^2 \end{aligned}$$

Chapitre 3: Construction des courbes elliptiques bien couplées

ce qui ramène à la résolution d'une équation diophantienne de la forme

$$x^2 - 3Dy^2 = -8 \quad (3.7)$$

où $x \equiv \pm 1 \pmod{6}$. ce type d'équation diophantienne est appelé équation de Pell généralisée.

pour construire une courbe ordinaire avec $k = 6$, on choisit un discriminant fondamental $-D$, et on cherche parmi les couples (x, y) solution d'équation (3.7), ceux qui vérifient

$x \equiv \pm 1 \pmod{6}$ et tels que $q = 1 + 4\left(\frac{x \pm 1}{6}\right)^2$ soit un grand nombre premier. on vérifie ensuite que $q + 1 - t$ où $t = 1 \pm \frac{x \pm 1}{6}$ possède un grand facteur premier et un degré de plongement $k = 6$. si aucune solution ne remplit ces critères, on passe au discriminant fondamental suivant

Remarque2 : On peut restreindre les valeurs possibles pour D en remarquant si on a une solution de l'équation (3.7), alors -8 (et donc -2) est carré modulo $3D$. Donc si p est facteur premier de D , p vérifie nécessairement $p \equiv 1$ ou $3 \pmod{8}$. par ailleurs, D doit être impair pour que $x \equiv \pm 1 \pmod{6}$.

Pour résoudre une équation de Pell généralisée, la technique consiste d'abord à chercher une solution minimale (x_0, y_0) de l'équation de Pell

$$x^2 - 3Dy^2 = 1 \quad (3.8)$$

Une telle solution vérifie

$$\left| \frac{x_0}{y_0} - \sqrt{3D} \right| < \frac{1}{2y_0^2}$$

et peut donc être obtenue en détectant, dans le développement en fractions continues de $\sqrt{3D}$, la première réduite $\frac{x_0}{y_0}$ où x_0 et y_0 vérifient l'équation (3.8) (voir [Z'00] prop. 1.28).

On détaille l'algorithme permettant de calculer les réduites du développement en fractions continues de \sqrt{n} :

Chapitre 3: Construction des courbes elliptiques bien couplées

Lemme 3 : soient a_k le k – ième coefficient intervenant dans le développement en fractions continues de \sqrt{n} :

$$\sqrt{n} = a_0 + \frac{1}{a_1 + \frac{1}{a_2 + \dots}} = [a_0, a_1, a_2, \dots, \dots, \dots]$$

on définit r_k par

$$\sqrt{n} = a_0 + \frac{1}{a_1 + \frac{1}{\dots a_{k-1} + \frac{1}{r_k}}}$$

autrement dit,

$$r_k = [a_k, a_{k+1}, \dots]$$

Alors il existe des suites d'entier(b_k) et (c_k) telles que

$$\left\{ \begin{array}{l} r_k = \frac{b_k + \sqrt{n}}{c_k} \\ a_k = \left\lfloor \frac{a_0 + b_k}{c_k} \right\rfloor \\ b_{k+1} = a_k c_k - b_k \\ c_{k+1} = 2a_k b_k - a_k^2 c_k + c_{k-1} \\ a_0 = \lfloor \sqrt{n} \rfloor \\ b_0 = 0 \\ c_{-1} = n, c_0 = 1, c_1 = n - a_0^2 \end{array} \right.$$

preuve : Par définition, $r_0 = \sqrt{n}$, donc $b_0 = 0$ et $c_0 = 1$. Puis, $r_1 = \frac{1}{r_0 - a_0} = \frac{\sqrt{n} + a_0}{n - a_0^2}$,

dont on déduit $b_1 = a_0$ et $c_1 = n - a_0^2$ on vérifie finalement par récurrence les relations sur r_k, b_k, c_k . par ailleurs

$$a_k = [r_k] = \left\lfloor \frac{a_0 + b_k + \sqrt{n} - a_0}{c_k} \right\rfloor = \left\lfloor \frac{a_0 + b_k}{c_k} \right\rfloor$$

puisque $|\sqrt{n} - a_0| < 1$

Chapitre 3: Construction des courbes elliptiques bien couplées

il est alors facile de calculer par récurrence la k -ième réduite $\frac{x_k}{y_k} = [a_0 \dots a_k]$
([zoo]p17)

$$\begin{cases} x_k = a_k x_{k-1} + x_{k-2} \\ y_k = a_k y_{k-1} + y_{k-2} \\ x_{-1} = 1, x_0 = a_0, x_1 = a_0 a_1 + 1 \\ y_{-1} = 0, y_0 = 1, y_1 = a_1 \end{cases}$$

On en déduit l'algorithme suivant :

Alg. Calcul d'une solution minimale (x, y) de l'équation de Pell $x^2 - ny^2 = 1$

ENTRÉE: n

SORTIE: x, y

$$a_0 \leftarrow \lfloor \sqrt{n} \rfloor, a \leftarrow a_0, b \leftarrow 0, \tilde{c} \leftarrow n, c \leftarrow 1, \tilde{x} \leftarrow 1, x \leftarrow a_0, \tilde{y} \leftarrow 0, y \leftarrow 1$$

répéter

$$b' \leftarrow ac - b$$

$$c' \leftarrow 2ab - a^2c + \tilde{c}$$

$$a \leftarrow \left\lfloor \frac{a_0 + b'}{c'} \right\rfloor$$

$$x' \leftarrow ax + \tilde{x}$$

$$y' \leftarrow ay + \tilde{y}$$

$$b \leftarrow b'$$

$$\tilde{c} \leftarrow c$$

$$c \leftarrow c'$$

$$\tilde{x} \leftarrow x$$

$$x \leftarrow x'$$

$$\tilde{y} \leftarrow y$$

$$y \leftarrow y'$$

jusqu'à ce que: $x^2 - ny^2 = 1$

Remarque 3: Il est classique que le développement en fractions continues de \sqrt{n} est périodique. Si on note k la période, une solution pour Pell est trouvée au bout de k itérations si k est pair ou $2k$ itérations si k est impair. En particulier, l'algorithme s'arrête.

On détaille ensuite comment résoudre l'équation de Pell généralisée (3.7) :

Chapitre 3: Construction des courbes elliptiques bien couplées

Lemme 4 : (Résolution de l'équation généralisée de Pell).

Si $n > N^2$, alors les solutions de l'équation généralisée de Pell

$$x^2 - ny^2 = N \tag{3.9}$$

s'il en existe, s'obtiennent comme des réduites du développement en fractions continues de \sqrt{n} .

preuve : On a

$$\begin{aligned} x^2 - ny^2 = N &\Leftrightarrow (x - \sqrt{n}y)(x + \sqrt{n}y) = N \\ &\Leftrightarrow \left(\frac{x}{y} - \sqrt{n}\right)\left(\frac{x}{y} + \sqrt{n}\right) = \frac{N}{y^2} \\ &\Leftrightarrow \left|\frac{x}{y} - \sqrt{n}\right| < \frac{1}{2y^2} \end{aligned}$$

en particulier $\frac{x}{y}$ est une réduite du développement en fractions continues de \sqrt{n} .

Remarque 4 : Il est à noter également [Mat00] que si l'équation de Pell généralisée (3.7) Admet une solution (x_p, y_p) , alors cette solution sera détectée lors de la recherche de la solution minimale (x_0, y_0) de l'équation de Pell (3.8). On obtient alors une infinité de solutions pour (3.7) en considérant les éléments de la forme

$$(x_p + \sqrt{3D}y_p)(x_0 + \sqrt{3D}y_0)^k \text{ avec } k \in \mathbb{Z}$$

Exemple :

Pour $D = 43$, on trouve un développement en fractions continues de $(\sqrt{3D})$ égal à $[11; \overline{2; 1; 3; 1; 6; 1; 3; 1; 2; 22}]$ et donc la solution de l'équation

$$x^2 - 129y^2 = 1$$

est obtenue en écrivant

$$\frac{x}{y} = [11; 2; 1; 3; 1; 6; 1; 3; 1; 2] = \frac{16855}{1484}.$$

Au passage, la réduite $[11] = \frac{11}{1}$ donne une solution particulière pour l'équation de Pell généralisée :

$$11^2 - 129 \times 1^2 = -8$$

On construit ensuite une famille de solutions de la forme

$$x + y\sqrt{129} = (11 + \sqrt{129})(16855 + 1484\sqrt{129})^n, \quad n \in \mathbb{Z}.$$

Chapitre 3: Construction des courbes elliptiques bien couplées

Pour chaque solution, on teste si le $q = 1 + 4 \left(\frac{x \pm 1}{6}\right)^2$ correspondant est premier et si la cardinalité correspondante $(= q + 1 - t, \text{ où } t = 1 \pm 2 \left(\frac{x \pm 1}{6}\right))$ possède un grand facteur premier :

- $n = 0$: $(x, y) = (11, 1), l = 2, q = 17$ est premier, $t = 5$ donc $q + 1 - t = 13$
- $n = 1$: $(x, y) = (376841, 33179), l = 62807, q = 15778876997$ n'est pas premier.
- $n = -1$: $(x, y) = (-6031, 531), l = -1005, q = 4040101$ n'est pas premier.
- $n = 2$: $(x, y) = (12703310099, 1118464089), l = 2117218350, q = 17930454166306890001$ n'est pas premier.
- $n = -2$: $(x, y) = (-203305021, 17900009), l = -33884170, q = 4592547906355601$ est premier, $t = -67768339$
donc $q + 1 - t = 4592547974123941 = 13 \times 2347 \times 150521057131$.

la solution trouvée pour $n = -2$ donne une cardinalité ayant un facteur premier de 37 bits et un degré de plongement $k = 6$. le polynôme de classe de Hilbert pour $-D = -43$ est de degré 1:

$$H_{-43}(X) = X + 884736000$$

et admet 4592547021619601 comme racine modulo 4592547906355601 . une courbe d'invariant modulaire

4592547021619601 sur $\mathbb{F}_{4592547906355601}$ est donnée par l'équation :

$$\tilde{E}: y^2 = X^3 + 2564278200474279 X + 1709518800316186$$

on constate que le nombre de point de cette courbe n'est pas égal à $q + 1 - t$. il est donc égal à $q + 1 + t$, et on prend donc pour la courbe cherchée E une tordue de \tilde{E} .

Par exemple :

$$E : y^2 = x^3 + 1763476217229032x + 3447467182151685$$

il est à noter cependant que la méthode de multiplication complexe présentée ici ne permet pas de résoudre tous les problème de construction de courbes:

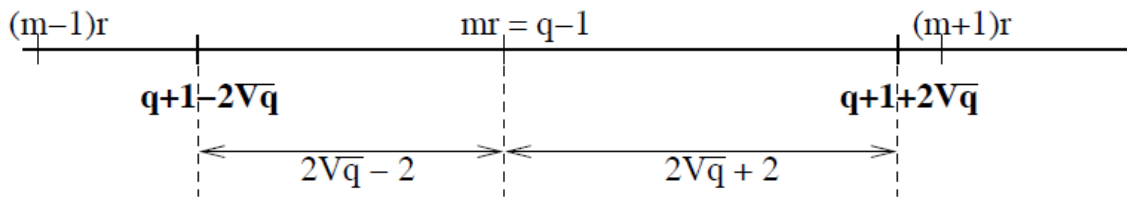
Exemple: courbes de trace 2 et de degré de plongement $k = 1$).

lorsque r est un diviseur de $\#E(\mathbb{F}_q)$ assez grand, ou de façon plus précise $r \geq 2\sqrt{q} + 2$, les courbes elliptiques admettant des points de r - torsion et un degré de plongement égal à 1, ont nécessairement leur q - ième morphisme de Frobenius de trace égale à 2.

En effet, si on note $I = [q + 1 - 2\sqrt{q}; q + 1 + 2\sqrt{q}]$ l'intervalle des valeurs possibles pour $\#E(\mathbb{F}_q)$ donnée par la borne de Hasse, on a $(q - 1) \in I$ qui est le seul multiple

Chapitre 3: Construction des courbes elliptiques bien couplées

possible de r dans cet intervalle:



En particulier, $q - 1 = \#E(\mathbb{F}_q) = q + 1 - \text{Tr} \Phi_q$ et $\text{Tr} \Phi_q = 2$.

la construction d'une courbe de trace 2 vérifiant les propriétés de la proposition précédente. dans le cas où le degré de plongement vaut 1 pose a priori problème.

si on utilise la méthode de multiplication complexe, on doit choisir un discriminant fondamental D sans facteur carré et petit, puis trouver $q = p^d$ et y tels que

$4q - (\text{Tr} \Phi_q)^2 = y^2 D$. dans ce cas précis, comme $\text{Tr}(\text{Tr} \Phi_q) = 2$, on a $y^2 D = 4(q - 1)$,

en particulier si r est un grand facteur premier de $q - 1$, nécessairement r/y , donc $r^2/q - 1$.

D'autres méthodes doivent donc être envisagées pour la construction de telles courbes.

4. Application des courbes Elliptiques en cryptologie :

Les couplages de *Weil* et *Tate* ont des propriétés particulièrement intéressantes pour la cryptographie, dans la mesure où on connaît un algorithme efficace pour les calculer. A titre d'exemple, on présente dans ce qui suit une de leurs toutes premières applications (en 1993) à la cryptanalyse ainsi que des exemples célèbres de protocoles les utilisant.

Alg. 2 Algorithme de Miller amélioré

ENTRÉE : $P = (x_1, y_1) \in E(\mathbf{F}_q)[l]$, $Q = (x_2, y_2) \in E(\mathbf{F}_{q^k})[l]$, $l = (l_{k-1} \dots l_0)_2$

SORTIE : $f(Q)$ où f telle que $\text{div}(f) = l(P) - l(O)$

(Variables : $T = (x_3, y_3) \in E(\mathbf{F}_q)$, $f_1, f_2, \lambda \in E(\mathbf{F}_{q^k})$)

$f_1 \leftarrow 1$

$f_2 \leftarrow 1$

$T \leftarrow P$

pour $i = k - 1$ à 1 **faire**

$\lambda \leftarrow$ coefficient de la tangente à E en T

$f_1 \leftarrow f_1^2(y_2 - \lambda(x_2 - x_3) - y_3)$

$f_2 \leftarrow f_2^2(x_2 + 2x_3 - \lambda^2)$

$T \leftarrow 2T$

si $l_i = 1$ **alors**

$\lambda \leftarrow$ coefficient de la droite passant par P et T

$f_1 \leftarrow f_1(y_2 - \lambda(x_2 - x_1) - y_3)$

$f_2 \leftarrow f_2(x_2 + x_3 + x_1 - \lambda^2)$

$T \leftarrow T + P$

fin si

fin pour

si $l_0 = 1$ **alors**

$\lambda \leftarrow$ coefficient de la tangente à E en T

$f_1 \leftarrow f_1^2(y_2 - \lambda(x_2 - x_3) - y_3)$

$f_2 \leftarrow f_2^2(x_2 + 2x_3 - \lambda^2)$

$T \leftarrow 2T$

$f_1 \leftarrow f_1(x_2 - x_1)$

$T \leftarrow T + P$

sinon

$f_1 \leftarrow f_1^2(x_2 - x_3)$

$f_2 \leftarrow f_2^2$

$T \leftarrow 2T$

fin si

retourner $\frac{f_1}{f_2}$

4. 1 Attaque de *MOV/Frey* – *Rück* :

$(E(\mathbb{F}_q), +)$ étant un groupe commutatif, si $r \neq p$ est un diviseur premier du nombre de Points rationnels $\#E(\mathbb{F}_q)$ de la courbe, alors il existe un point $P \in E(\mathbb{F}_q)[r]$ d'ordre r . Avec les mêmes notations que précédemment, on s'intéresse au problème du logarithme discret sur $E(\mathbb{F}_q)[r]$

Etant donnés $P, P' \in E(\mathbb{F}_q)[r]$ tels que $[m]P = P'$, trouver m .

Pour une courbe elliptique quelconque, on ne connaît que des algorithmes génériques, type Baby step, Giant step de complexité en calcul exponentielle en $O(\sqrt{r})$. Grâce aux propriétés de bilinéarité et de non dégénérescence du couplage de Tate, il est possible de transférer ce problème dans le groupe multiplicatif d'un corps fini (attaque de Frey – Ruck [FR94] ou attaque de Menezes, Okamoto et Vanstone [MOV93]). En effet,

$\langle [m]P, Q \rangle = \langle P, Q \rangle^m \in \mu_r \subset \mathbb{F}_{q^k}^*$ où k est le degré d'immersion.

Si on choisit Q tel que $\langle P, Q \rangle \neq 1$, on se ramène au problème du log discret dans $\mathbb{F}_{q^k}^*$ ($q' = q^k$). Sur un tel groupe, il existe des algorithmes, basés sur le calcul d'index, de complexité sous – exponentielle en $O\left(e^{c(\log q')^{\frac{1}{3}}(\log \log q')^{\frac{2}{3}}}\right)$.

En particulier pour les courbes admettant des sous – groupes de r – torsion pour lesquels le degré d'immersion k est proche de 1, l'attaque MOV est plus performante que les algorithmes standards.

Menezes, Okamoto et Vanstone ont également montré que le degré de plongement d'une courbe supersingulière est toujours plus petit que 6 (voir section 4.2); il faut donc être particulièrement prudent lorsque l'on utilise ce type de courbe. Pour parer à l'attaque MOV, il sera nécessaire en particulier de prendre q grand.

Par exemple, supposons que l'on souhaite travailler avec une courbe supersingulière définie sur \mathbb{F}_q , avec $k = 2$. Pour avoir une sécurité de 80 bits, r doit avoir au moins 160 bits afin de contrer les attaques génériques type Baby – step, giant – step; mais p^k doit aussi comporter au moins 1024 bits pour contrer l'attaque MOV, ce qui impose $|P|_2 \geq 512$. Le cofacteur de r dans $\#E(\mathbb{F}_p)$ est donc très grand, ce qui entraîne une perte d'efficacité au niveau mémoire, temps de calcul et bande passante.

On décrit dans la suite les schémas cryptographiques à clé publique fondamentaux basés sur des couplages. Dans chaque cas, on précise les propriétés du couplage utilisées, ainsi que les hypothèses standards à faire pour assurer la sécurité.

4.2 Hypothèses de sécurité liées aux couplages :

Dans les schémas cryptographiques que l'on va décrire, on utilise essentiellement deux types de couplages non dégénérés :

- les self – pairings, de la forme $\hat{e}: G_1 \times G_2 \rightarrow G_3$ bilinéaire et non dégénéré, où G_1 et G_3 sont deux groupes cycliques d'ordre r premier.
- les couplages asymétriques, plus simples à construire, et qui sont de la forme $e: G_1 \times G_2 \rightarrow G_3$ bilinéaire et non dégénéré, où G_1, G_2 et G_3 sont des groupes cycliques d'ordre r premier.

Chapitre 4: Application des courbes Elliptiques en cryptologie

Les courbes elliptiques (et hyperelliptiques) sont pour l'instant les seuls contextes connus dans lesquels de tels couplages sont calculables de façon efficace. Généralement, on prend $G_1 = \langle P \rangle$ où P est un point rationnel de r -torsion d'une courbe elliptique E définie sur IF_q ($q = p^d, l \neq p$ premier), $G_2 = \langle Q \rangle$ où $Q \in E(IF_{q^k})$ est un point de r -torsion non multiple de P et $G_3 = \mu_r \subset IF_{q^k}$ le groupe des racines r -ième de l'unité.

On rappelle que pour assurer la sécurité des cryptosystème classiques basés sur le calcul du logarithme discret, on utilise un groupe $G = \langle P \rangle$ noté additivement, dans lesquels l'un des trois problèmes suivants au moins est difficile :

- ❖ *DDH (Decisional Diffie – Hellman problem)* : étant donné $P, [a]P, [b]P$ et $[c]P$, déterminer si $ab = c$.
- ❖ *CDH (Computational Diffie – Hellman problem)*: étant donné $P, [a]P$ et $[b]P$ Calculer $[ab]P$
- ❖ *DL (Discret Log problem)* : étant donné P et $[a]P$, trouver α .

Ces trois problèmes sont clairement classés par ordre de difficulté croissante.

Mais lorsqu'on travaille avec des groupes admettant un couplage, ces problèmes ne sont plus nécessairement appropriés. Si par exemple, on considère pour simplifier les notations des self – pairings, c'est – à – dire des applications bilinéaires symétriques non dégénérés $\hat{e}: G_1 \times G_1 \rightarrow G_3$ où $G_1 = \langle P \rangle$ est un groupe cyclique noté additivement, le problème *DDH* sur G_1 devient facile. Il est par contre pertinent d'introduire les problèmes suivants :

- *DBDH (Decisional Bilinear Diffie – Hellman problem)*: étant donné $P, [a]P, [b]P$ et $[c]P$ dans G_1 et $\hat{e}(P, P)^d$, déterminer si $\delta = \alpha\beta\chi$.
- *BDH (Bilinear Diffie – Hellman problem)* : étant donné $P, [a]P, [b]P$ et $[c]P$ dans G_1 , calculer $\hat{e}(P, P)^{abc}$
- Inversion problème : étant donné P et $\hat{e}([a]P, P)$, trouver $[a]P$.

Remarque 1: De la même façon qu'un algorithme permettant de résoudre *DL* peut être utilisé pour résoudre *CDH* et *DDH*, il est possible de trouver des relations entre les complexités de ces différents problèmes :

• $BDH \propto CDH_{G_1}$

On suppose qu'on connaît un algorithme permettant de résoudre *CDH* sur G_1 . Avec cet algorithme, on peut, étant donné $P, [a]P, [b]P$ et $[c]P$, calculer $[ab]P$ puis $\hat{e}([ab]P, [c]P) = \hat{e}(P, P)^{abc}$, ce qui permet de résoudre *BDH* sur $\langle G_1, G_3, \hat{e} \rangle$.

• $BDH \propto CDH_{G_1}$

Etant donné $P, [a]P, [b]P$ et $[c]P$, on peut calculer grâce à la bilinéarité $\hat{e}(P, P)^{bc} = \hat{e}([b]P, [c]P)$ et $\hat{e}(P, P)^a = \hat{e}([a]P, P)$ pour en déduire grâce à l'algorithme de

résolution de CDH_{G_3} le couplage $\hat{e}([ab]P, [c]P) = \hat{e}(P, P)^{abc}$,

• $BDH \propto Inv$

Etant donnés $P, [a]P, [b]P$ et $[c]P$, on peut calculer $\hat{e}([a]P, [b]P) = \hat{e}([ab]P, P)$ et en déduire $[ab]P$ grâce à l'algorithme d'inversion. Il est alors facile de calculer $\hat{e}([ab]P, [c]P) = \hat{e}(P, P)^{abc}$

• $DDH_{G_3} \propto Inv$

La loi de groupe sur G_3 étant notée multiplicativement, on cherche étant donnés g, g^a, g^b, g^c à déterminer si $g^c = g^{ab}$. Grâce à Inv , on peut déduire de g^a (resp. g^b, g^c) la valeur de $[a]P$ (resp. $[b]P, [c]P$). Avec les propriétés du couplage, il est alors facile de déterminer si $\hat{e}([ab]P, P) = \hat{e}([a]P, [b]P)$ est égal à $\hat{e}([c]P, P)$

Par contre la réduction $CDH \propto BDH$ est encore un problème ouvert (voir [BF03], [Jou04]).

Il est par ailleurs possible d'adapter ces problèmes au cas où le couplage serait asymétrique.

Par exemple, pour un couplage $e: G_1 \times G_2 \rightarrow G_3$, on définit le problème suivant :

co-BDH (Co-bilinear Diffie-Hellman problem) : étant donnés P (resp. Q) un générateur de G_1 (resp. G_2), $[a]P, [b]P, [a]Q$ et $[c]Q$ calculer $e(P, Q)^{abc}$.

4.3 Distribution non interactive de clés basée sur l'identité :

En 2000, Sakai, Ohgishi et Kasahara ([SOK00]) ont mis au point une version non interactive du protocole d'échange de clés en utilisant des couplages. Dans ce contexte, on se donne :

- un système de paramètres $\{G_1, G_3, \hat{e}\}$, où G_1 et G_3 sont des groupes cycliques d'ordre r , et $\hat{e}: G_1 \times G_1 \rightarrow G_3$ est une application bilinéaire, symétrique et non dégénérée.

- une fonction de hachage $H_1: \{0; 1\}^* \rightarrow G_1$ Un tiers de confiance ou PKG

(Private Key Generator) est responsable de la certification de l'identité d'un intervenant et de la maintenance du système de paramètres. Il détient une clé secrète $S \in \mathbb{Z}_r^*$, appelée

master Key, permettant de délivrer à un intervenant une clé secrète basée sur son identité.

Pour obtenir un secret commun, Alice et Bob suivent les deux étapes suivantes du protocole :

1. chacun demande au PKG de lui générer un secret S à partir de sa propre identité (on peut prendre par exemple comme identifiant son adresse de courrier électronique) :

- Alice reçoit $S_A = [S]Q_A$, où $Q_A = H_1(\text{Id}_A)$

- Bob reçoit $S_B = [S]Q_B$ où $Q_B = H_1(\text{Id}_B)$

2. chacun peut alors calculer la clé commun K_{AB} sans discussion préalable :

- Alice calcule $K_{AB} = \hat{e}(S_A, H_1(\text{Id}_B)) = \hat{e}(Q_A, Q_B)^S$

- Bob calcule $K_{AB} = \hat{e}(H_1(\text{Id}_A), S_B) = \hat{e}(Q_A, Q_B)^S$

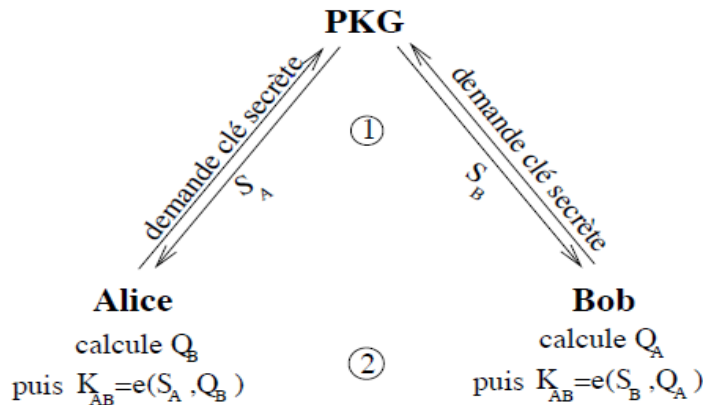


FIG. 2 – Distribution non interactive de clés basée sur l'identité

Remarque 1 :

Les rôles d'Alice et de Bob étant complètement symétriques, une seule fonction de hachage à valeurs dans G_1 est utilisée, ce qui justifie l'utilisation d'un self-pairing.

Sécurité:

Il est clair que si Charlie sait résoudre le problème BDH , alors il est facile pour lui de retrouver la clé secrète K_{AB} d'Alice et Bob. En effet, Charlie connaît l'identité d'Alice et Bob, donc peut calculer Q_A et Q_B , il choisit alors un point Q comme générateur de G_1 (par exemple $Q = H_1(Id_C)$) et demande au PKG de calculer la valeur $[S]Q$. S'il sait résoudre BDH , connaissant $Q, Q_A = [a]Q, Q_B = [b]Q$ et $[s]Q$, il peut calculer $\hat{e}(Q, Q)^{abs} = \hat{e}(Q_A, Q_B)^S = K_{AB}$.

Dupont et Enge ([DE06]) ont prouvé pour une version quasi-similaire à celle de [SOK00] qu'être capable de trouver la clé dégénérée par ce protocole est aussi difficile que de résoudre le problème BDH .

Comparaison avec le schéma de distribution de clé ECDH :

Une alternative courante pour qu'Alice et Bob puissent s'échanger une clé est d'utiliser le protocole $ECDH$ (Elliptic Curve Diffie – Hellman). Dans le schéma *Diffie – Hellman* original, on dispose d'un groupe Γ d'ordre premier r engendré par un point P pour lequel CDH est difficile. Alice choisit un secret $a \in \mathbb{Z}_r^*$ et envoie $q_A = [a]P$ à Bob. De même Bob envoie à Alice $q_B = [b]P$ où $b \in \mathbb{Z}_r^*$ est son secret. Ils peuvent alors calculer leur clé secrète commune $K_{AB} = [a]q_B = [b]q_A = [ab]P$, et un attaquant passif reste impuissant tant que CDH est difficile sur $G = \langle P \rangle$.

Cette version de *Diffie – Hellman* n'est cependant pas satisfaisante puisqu'Alice et Bob ne s'authentifient pas l'un auprès de l'autre, en particulier une attaque type "man-in-the-middle" est rendue possible. Pour que Bob puisse être sûr que q_A a bien été envoyé par Alice, celle-ci doit tout d'abord posséder un jeu de clés (k_p^A, k_s^A) , ainsi qu'un certificat, contenant son identité et sa clé publique k_p^A , qui est signé par une autorité de certification (AC). Elle peut alors signer q_A avec sa clé privée k_s^A et Bob vérifie la signature avec la clé publique k_p^A figurant dans son certificat.

Il est intéressant de comparer les avantages et inconvénients de ces deux protocoles

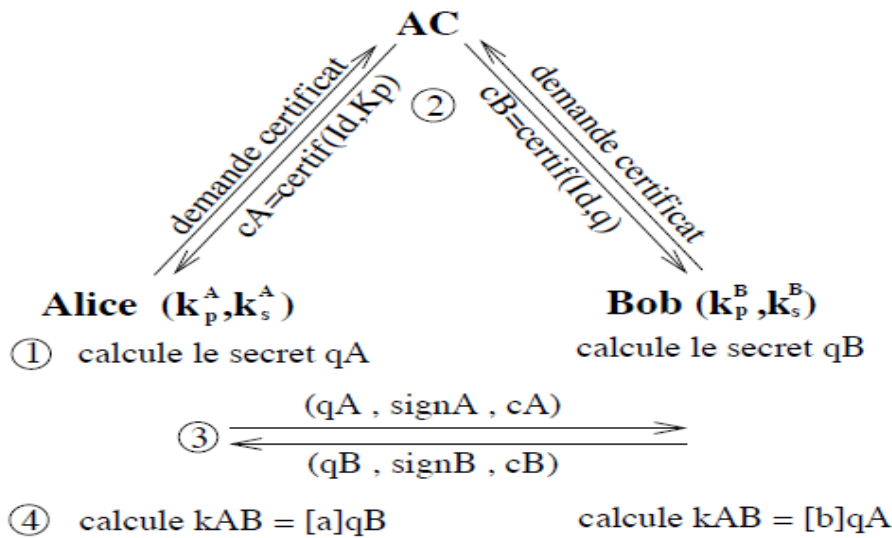


FIG. 3 – Distribution de clé ECDH avec signature et certificat.

Protocole de [SOK00]	Protocole ECDH
- <i>identity-based</i> : l'identité d'un intervenant est utilisée comme clé publique de celui-ci	- <i>non identity-based</i> : un certificat est nécessaire pour associer une clé publique à un intervenant
- Alice peut calculer la clé K_{AB} sans aucune intervention de Bob	- Alice doit attendre de recevoir la valeur q_B calculée par Bob pour pouvoir calculer la clé commune k_{AB}
- demande au PKG d'un secret	- demande à l'AC d'un certificat pour la clé publique servant à signer
- Confiance totale accordée au PKG : celui-ci peut en effet faire un séquestre de clés (<i>key escrow</i>)	- Pas de séquestre de clé possible

4.4 Un protocole *Diffie – Hellman* pour trois parties en un tour :

Une idée naïve de protocole *Diffie – Hellman* pour trois parties permettrait à Alice, Bob et Charlie d'échanger un secret après 2 tours : on se donne un groupe G d'ordre premier r engendré par P , et chaque intervenant procède de la façon suivante

	Alice	Bob	Charlie
Secret	A	B	C
1 ^{ère} tour	envoie $[a]P$ à Bob	envoie $[b]P$ à Charlie	envoie $[c]P$ à Alice
2 ^{ème} tour	envoie $[a]([c]P)$ à Bob	envoie $[b]([a]P)$ à Charlie	envoie $[c]([b]P)$ à Alice
Calcul de K_{ABC}	$[a]([cb]P)$	$[b]([ac]P)$	$[c]([ba]P)$

En 2000, *Joux* propose une version de ce protocole en un tour utilisant des couplages ([Jou04]):

Chapitre 4: Application des courbes Elliptiques en cryptologie

on dispose d'un système de paramètres (G_1, G_2, \hat{e}, P) où G_1 est un groupe cyclique d'ordre premier r engendré par P et $\hat{e}: G_1 \times G_1 \rightarrow G_3$ est un self-pairing. On modifie le protocole précédent de la façon suivante :

	Alice	Bob	Charlie
Secret	a	b	c
1 ^{er} tour	broadcast $[a]P$	broadcast $[b]P$	broadcast $[c]P$
Calcul de K_{ABC}	$\hat{e}([b]P, [c]P)^a$	$\hat{e}([a]P, [c]P)^b$	$\hat{e}([a]P, [b]P)^c$

Ici encore, la sécurité est basée sur *BDH*

Comme c'est le cas dans l'article original de [Jou04], il est possible de faire un échange entre trois parties sans utiliser de self – pairing : on choisit un système de paramètres $(G_1, G_2, G_3, \hat{e}, P)$ où G_1 et G_3 sont des groupes cycliques d'ordre premier r , ainsi qu'un couplage bilinéaire $e: G_1 \times G_2 \rightarrow G_3$ non dégénéré. Le protocole à Suivre est :

	Alice	Bob	Charlie
Secret	a	b	c
1 ^{er} tour	broadcast $[a]P, [a]Q$	broadcast $[b]P, [b]Q$	broadcast $[c]P, [c]Q$
Calcul de K_{ABC}	$e([b]P, [c]Q)^a$	$e([a]P, [c]Q)^b$	$e([a]P, [b]Q)^c$

L'avantage de ce schéma est que l'on peut utiliser directement le couplage de *Tate* (ou *Weil*) sur n'importe quel type de courbe. Cependant il présente l'inconvénient d'utiliser deux fois plus de bande passante, puisque chaque intervenant ayant pour secret s doit transmettre $[s]P$ et $[s]Q$. Sa sécurité s'appuie sur l'hypothèse que *co – BDH* est difficile.

4.5 Le chiffrement de Boneh – Franklin basé sur l'identité :

Le chiffrement proposé par *Boneh – Franklin* en 2001 est considéré comme l'application la plus importante des couplages en cryptographie, puisqu'il répond à un problème de chiffrement basé sur l'identité posé par *Shamir* en 1986 et resté jusqu'alors sans réponse [Sha85].

On présente la version la plus simple (Basic Ident) de ce chiffrement, afin de mettre en valeur les idées principales de *Boneh-Franklin*. Un schéma plus complet et prouvé plus sûr (Full Ident) est également donné dans [BF03].

On se place dans le même type d'infrastructure que pour [SOK00] : le *BKG* publie un système de paramètres (G_1, G_3, \hat{e}) , un générateur Π de G_1 , ainsi que le point $P_{pub} = [s]P$ obtenu à partir de la clé maître (master Key) $s \in \mathbb{Z}_r^*$. En plus de $H_1: \{0; 1\}^* \rightarrow G_1$, on met à disposition des utilisateurs une 2^{ème} fonction de hachage $H_2: G_3 \rightarrow \{0; 1\}^n$, où n est le nombre de bits des messages transmis.

De façon générale, un schéma de chiffrement basé sur l'identité (IBE) est défini par la donnée de 4 algorithmes *Setup, Extract* (qui fournit à un intervenant une clé privée basée sur son

Chapitre 4: Application des courbes Elliptiques en cryptologie

identité), **Encrypt** et **Decrypt**. On donne le détail de ces algorithmes pour le schéma de Boneh-Franklin :

– **Setup** prend en entrée un paramètre de sécurité à partir duquel sont générés les paramètres du système décrits précédemment : $\langle G_1, G_3, \hat{e}, P, P_{pub}, H_1, H_2 \rangle$

L'espace des messages est $M = \{0; 1\}^n$ et l'espace des chiffrés est $C = G_1 \times \{0; 1\}^n$

– **Extract** prend en entrée l'identité Id d'un utilisateur et fournit à celui-ci la clé privée correspondante $S_{Id} = [s]H_1(Id)$

– **Encrypt** permet de chiffrer un message $M \in \mathcal{M}$ destiné à un utilisateur à partir de son identité Id en 3 étapes :

1. Calculer : $Q_{Id} = H_1(Id) \in G_1$

2. Tirer un nombre aléatoire : $t \in \mathbb{Z}_r^*$

3. Calculer le chiffré C de M : $C = \langle [t]P, M \oplus H_2(\hat{e}(Q_{Id}, P_{pub})^t) \rangle$

– **Decrypt** permet de déchiffrer $C = \langle C_1, C_2 \rangle$ adressé à l'utilisateur Id grâce à sa clé privée S_{Id} en calculant

$$M' = C_2 \oplus H_2(\hat{e}(S_{Id}, C_1))$$

Pour vérifier la consistance de ce schéma, il suffit de remarquer que

$$\hat{e}(Q_{Id}, P_{pub})^t = \hat{e}(Q_{Id}, P)^{st} = \hat{e}([s]Q_{Id}, [t]P) = \hat{e}(S_{Id}, C_1)$$

Sécurité :

Comme dans [SOK00], on peut réduire la sécurité de ce schéma à **BDH**: si Bob adresse un message chiffré $C = \langle C_1, C_2 \rangle$ à Alice, Charlie a accès à $P, P_{pub} = [s]P$, $C_1 = [t]P$ et $Q_A = H_1(Id_A) = [a]P$ (la clé publique d'Alice) et donc peut calculer, avec un algorithme résolvant **BDH**, $\hat{e}(P, P)^{sat} = \hat{e}(P_{pub}, Q_A)^t$, ce qui lui permet de retrouver le message clair. Réciproquement, Boneh et Franklin montrent que dans le modèle de l'oracle aléatoire, le chiffrement décrit (BasicIdent) est sémantiquement sûr contre les attaques à texte clair choisi en autorisant des requêtes de clés privées (**IND-ID-CPA**) sous l'hypothèse que **BDH** est difficile.

Remarque 2:

On constate qu'il est tout à fait possible de remplacer le self-pairing \hat{e} par un couplage asymétrique $e: G_1 \times G_2 \rightarrow G_3$

Chapitre4: Application des courbes Elliptiques en cryptologie

- on modifie **Setup** en prenant $P, P_{pub} \in G_2$,
- dans **Extract**, on choisit des clés $S_{Id} = [s]Q_{Id} \in G_1$
- **Encrypt** et **Decrypt** fonctionnent de la même façon en remplaçant \hat{e} par e .

En particulier, on peut utiliser pour ce schéma une variété de courbes elliptiques plus étendue.

Conclusion

Conclusion:

Un couplage est une application notée $e : (G_1, +) \times (G_2, +) \rightarrow (G_3, +)$ où : $(G_1, +)$ et $(G_2, +)$ sont des groupes abéliens, le plus souvent des sous – groupes de courbe elliptique définie sur un corps fini, et (G_3, \times) un groupe multiplicatif (commutatif) vérifiant :

$$\begin{aligned} & \forall P, P' \in G_1, \forall Q, Q' \in G_2 : e(P + P', Q) = e(P, Q) \cdot e(P', Q) \\ \text{et } & e(P, Q + Q') = e(P, Q) \cdot e(P, Q') \text{ (Bilinéarité)} \end{aligned}$$

$$\forall P \in G_1 \neq \{0\}, \exists Q \in G_2 \text{ tel que } e(P, Q) \neq 1 \text{ (non dégénérescence)}$$

Ainsi, et comme conséquence : $\forall k \in \mathbb{Z}, e(kP, Q) = e(P, Q)^k = e(P, kQ)$

La propriété de bilinéarité d'un couplage a permis de transférer le problème du logarithme discret, problème qui consiste à déterminer l'entier n connaissant les points P et nP , depuis le groupe $E(K)$ des points K – rationnels d'une courbe elliptique définie sur le corps fini K , en un problème de logarithme discret sur un corps fini beaucoup plus facilement résoluble (attaque MOV en 1993 et Frey Rück en 1994).

Depuis quelques années, la recherche sur l'application des couplages aux constructions de protocoles cryptographiques a débouché sur de nombreux résultats substantiels tels que les constructions de protocoles cryptographiques robustes, comme le chiffrement bas sur l'Identité développé par Boneh et Franklin en 2001, l'échange de Diffie Hellman à trois conçu par Joux en 2001, les schémas de signature courte proposés par Boneh, Lynn et Shacham en 2001 : les couplages les plus utilisés dans ce cadre sont ceux de Weil et Tate et se présentent comme les outils les plus utilisés à l'heure actuelle en cryptographie.

Le calcul d'un couplage nécessite la connaissance des éléments suivants :

- Une courbe elliptique

$$\frac{E}{K} = \left\{ (x, y) \in K \times K, y^2 = x^3 + ax + b \right\} \cup \{0_E\} \text{ où } K \text{ est un corps (commutatif)}$$

contenant

- un corps fini IF_p , a et $b \in IF_p$;

- r un premier divisant $E(IF_p)$, ainsi que l'ensemble $E[r] = \left\{ P \in E(IF_p); [r]P = 0_E \right\}$

Conclusion

- Le degré de plongement k défini comme étant le plus petit entier tel que $r \mid (p^k - 1)$ on a alors $E[r] \subset E(F_{p^k})$.
- La fonction rationnelle de *Miller* notée $f_{r,P}$ admettant \mathbf{P} comme zéro d'ordre r et le point $[r]\mathbf{P}$ comme pôle.

La principale difficulté est de pouvoir calculer ces couplages avec des algorithmes qui soient les plus rapides possibles : l'algorithme le plus utilisé jusqu'à présent a été proposé par *Miller* en 1985 (qui renvoie précisément \mathbf{fr}, \mathbf{P}), mais depuis l'apparition de la cryptographie à base de couplages, les efforts se concentrent sur l'optimisation de cet algorithme.

Le but de notre travail a été double : d'abord rappeler la théorie des courbes elliptiques notamment sur des corps finis, puis donner un aperçu de l'algorithmique des couplages à base de courbes elliptiques, en présentant les aspects constructifs et calculatoires de ces applications bilinéaires.

Les perspectives en ce domaine seraient de tenter d'optimiser les protocoles déjà existants (en termes de temps de calcul), et peut – être de concevoir de nouveaux protocoles cryptographiques basés sur les couplages, non plus sur des courbes elliptiques, mais sur courbes algébriques plus générales, bien adaptées aux applications.

-  [ADMRK02] **E. Al – Daoud, R. Mahmud, M. Rushdan, and A. Kilicman.** A new addition formula for elliptic curves over $GF(2^n)$. *IEEE Transactions on Computers*, 51 : pages(972_975), 2002.
-   [AM93] **A. O. L. Atkin and F. Morain.** Elliptic curves and primality proving. *Math. Comp.*, 61(203), (pages : 29– 68), 1993.
-  [BF03] **Dan Boneh and Matthew Franklin.** Identity – based encryption from the Weil pairing. *SIAM J. Comput.*, 32(3)(pages : 586– 615), (electronic), 2003.
-  [BJ02] **E. Brier & M. Joye** Weierstrass elliptic curve and side-channel attacks. In *Public Key Cryptography, (PKC), volume 2274 of LNCS, (pages 335- 345)2002*
-  [BK98] **R. Balasubramanian and Neal Koblitz.** The improbability that an elliptic curve has subexponential discrete log problem under the Menezes – Okamoto – Vanstone algorithm. *J. Cryptology*, 11(2) : pages(141– 145), 1998.
-  [BSS 00] **I. F. Blake, G. Seroussi, and N. P. Smart.** Elliptic curves in cryptography, volume 265 of *London Mathematical Society Lecture Note Series.. Reprint of the 1999 original.* Cambridge University Press, Cambridge, 2000.
-  [CFA06] **Henri Cohen, Gerhard Frey, Roberto Avanzi, Christophe Doche, Tanja Lange, Kim Nguyen, and Frederik Vercauteren, editors.** Handbook of elliptic and hyperelliptic curve cryptography. *Discrete Mathematics and its Applications (Boca Raton).* Chapman & Hall/CRC, Boca Raton, FL, 2006.
-  [CF06] **H. Cohen & G. Frey.** editors . *Handbook of Elliptic and Hyperelliptic Cryptography.* Chapman & Hall. 2006.
-  [CM098] **H. Cohen, A. Miyaji, & T. Ono,** Efficient elliptic curve exponentiation using mixed coordinates. In *ASIACRYPT, LNCS.* Springer 1998
-  [Coh93] **Henri Cohen.** A course in computational algebraic number theory, volume 138 of *Graduate Texts in Mathematics.* Springer – Verlag, Berlin, 1993.
-  [DE06] **R gis Dupont and Andreas Enge.** Provably secure non – interactive keydistribution based on pairings. *Discrete Appl. Math.*, 154(2), (pages : 270– 276), 2006
-  [FH02] **F. Heb :** A Note on the Tate Pairing of Curves over Finite Fields, 2002. Submitted preprint.
-  [FR94] **Gerhard Frey and Hans – Georg R ck.** A remark concerning m – divisibility and the discrete logarithm in the divisor class group of curves. *Math. Comp.*, 62(206), (pages : 865– 874), 1994.

- [Gal05] **Steven D. Galbraith**. *Pairings*. In *Advances in elliptic curve cryptography*, volume 317 of *London Math. Soc. Lecture Note Ser.* (pages 183– 213). Cambridge Univ. Press, Cambridge, 2005.
- [GH94] **G. Frey, H. R  uck**
: *A remark concerning m – divisibility and the discrete logarithm in the divisor class group of curves*, *Mathematics of Computation*, 62 (pages. 865 – 874)1994.
- [GR04] **Steven D. Galbraith and Victor Rotger**. *Easy decision Diffie – Hellman groups*. *LMS J. Comput. Math.*, 7 : 201–218 (electronic), 2004.
- [HMV04] **D. Hankerson, A. Menezes & S. Vanstone**. *Guide to Elliptic Curve Cryptography*. Springer 2004.
- [HT00] **A. Higuchi & N. Takagi**. *A fast addition algorithm for elliptic curve arithmetic in $gf(2n)$ using projective coordinates*. *Inf. Process. Lett.*, 76(3): , (pages 101 – 103)2000
- [Jou04] **Antoine Joux**. *A one round protocol for tripartite Diffie – Hellman*. *J. Cryptology*, 17(4), (pages : 263– 276), 2004
- [KJJ99] **P. Kocher, J. Jaffe, & B. Jun**. *Differential power analysis*. In *Advances in cryptology – CRYPTO*, volume 1666 of *LNCS*, pages 388_397. Springer, 1999
- [Koc96] **P. Kocher**. *Timing attacks on implementations of diffie hellman, RSA, DSS and other systems*. In *Advances in cryptology – CRYPTO*, volume 1109 of *LNCS*. (pages 104_113). Springer. august 1996
- [Lan04] **T. Lange**. *A note on l  pez dahab coordinates*. Technical report, Technical University of Denmark, 2004.
- [LD98] **J. Lopez & R. Dahab**. *Improved algorithms for elliptic curve arithmetic in $GF(2^n)$* . In *Selected Areas in Cryptography, SAC*, volume 1556 of *LNCS*, , (pages 201 – 212). Springer. 1998
- [LD99] **J. Lopez & R. Dahab**. *Fast multiplication on elliptic curves over $GF(2^m)$ without precomputation*. In *Cryptographic Hardware and Embedded Systems, (CHES)*, volume 1717 of *LNCS*, (pages 316_327). Springer 1999.
- [Mat00] **Keith Matthews**. *The Diophantine equation $x^2 - Dy^2 = N, D > 0$* . *Expo. Math.*, 18(4), (pages: 323– 331), 2000.
- [Mil86] **Victor S. Miller**. *Short programs for functions on curves*. In *IBM Thomas J. Watson Research Center*, <http://crypto.stanford.edu/miller/miller.ps>. 1986
- [Mil04] **Victor S. Miller**. *The Weil pairing, and its efficient calculation*. *J. Cryptology*, 17(4), (pages 235– 261)2004

-  [MNT01] **Atsuko Miyaji, Masaki Nakabayashi, and Shunzo Takano.** *New explicit conditions of elliptic curve traces for FR – reductions.* *IEICE Trans. Fundamentals*, E84(5), (pages: 1234– 1243), 2001
-  [Mon87] **P. Montgomery.** *Speeding the pollard and elliptic curve methods of factorization.* *Mathematics of Computation*, 48: (pages 243 – 264)1987.
-  [MOV93] **Alfred J. Menezes, Tatsuaki Okamoto, and Scott A. Vanstone.** *Reducing elliptic curve logarithms to logarithms in a finite field.* *IEEE Trans. Inform. Theory*, 39(5), (pages : 1639– 1646), 1993
-  [MWZ96] **A. J. Menezes, Y. H Wu & R. J. Zuccherato.** *An elementary introduction to hyperelliptic curves.* *Technical report, Departement of C&O, University of Waterloo*, 1996
-  [QS01] **J. J. Quisquater & D. Samyde.** *Electromagnetic analysis (ema) : Measures and counter – measures for smart cards.* In *Proceedings of the International Conference on Research in Smart Cards : Smart Card Programming and Security*, volume 2140 of LNCS, (pages 200_210). Springer2001.
-  [Sha85] **Adi Shamir.** *Identity – based cryptosystems and signature schemes.* In *Advances in cryptology (Santa Barbara, Calif., 1984)*, volume 196 of *Lecture Notes in Comput. Sci.*, (pages 47– 53). Springer, Berlin, 1985.
-  [Sch00] **W. Schindler.** *A timing attack against rsa with the chinese remainder theorem.* In *Cryptographic Hardware and Embedded Systems (CHES)*, volume 1965 of LNCS, (pages 109_124). Springer2000.
- [ShI71] **SHIMURA Goro.** «Introduction to the Arithmetic Theory of Automorphic Function », Princeton University Press, 1971 .
-  [Sho97] **V. Shoup.** *Lower bounds for discrete logarithms and related problems.* In *Eurocrypt*, volume 1233 of LNCS, (pages 256_266)1997.
-  [Sil86] **J. H. Silverman.** *The Arithmetic of Elliptic Curves.. Classification* AMS = 1401, 14G 99, 14H 05, 14 K 15. GT – Springer1986
-  [SOK00] **Ryuichi Sakai, Kiyoshi Ohgishi, and Masao Kasahara.** *Cryptosystems based on pairing.* In *Proc. Of SCIS 2000*, 2000.
-  [SX95] **Henning Stichtenoth and Chao Ping Xing.** *On the structure of the divisor class group of a class of curves over finite fields.* *Arch. Math. (Basel)*, 65(2): (pages: 141– 150), 1995
-  [Ver04] **Eric R. Verheul.** *Evidence that XTR is more secure than supersingular elliptic*

curve cryptosystems. J. Cryptology, 17(4): (pages: 277– 296), 2004

📖[Wat69] **William C. Waterhouse**. *Abelian varieties over finite fields. Ann. Sci. Ecole Norm. Sup.* (4), 2 : (pages: 521– 560), 1969

📖[Z'00] **Gilles Zémor**. *Cours de cryptographie, volume 6 of Enseignement des Mathématiques. Cassini, Paris*, 2000.

📖[ZM07] **M. ZITOUNI**. *Géométrie, Arithmétique et Algorithmique des Courbes Elliptiques .OPU – Alger*, 2007.